

บทที่ 7

การวิเคราะห์และประเมินผลการลดความร้อนให้แก่ผนังอาคาร

7.1 การหาความสัมพันธ์สำหรับปริมาณรังสีดวงอาทิตย์บริเวณใต้ร่มเงาต้นไม้

ปริมาณรังสีดวงอาทิตย์ที่ใส่ภายใต้ในการสกัดกันในแต่ละวันจะมีปริมาณรังสีแตกต่างกันโดยมีสภาพท้องฟ้าเป็นตัวแปรที่สำคัญ รวมทั้งช่วงเวลาและเส้นทางการเดินของดวงอาทิตย์ การหาสมการความสัมพันธ์ จึงสามารถคาดการณ์การเกิดปริมาณรังสีที่ผ่านพุ่มใบมาได้ โดยอาศัยวิธีการทางสถิติ คือ การทำสมการถดถอย (Regression) โดยมีตัวแปรดังนี้

- ตัวแปรอิสระ คือ

1. มุมดวงอาทิตย์ที่อยู่เหนือแนวระนาบนอน (Altitude) X_1
2. มุมดวงอาทิตย์ในแนวระนาบจากทิศใต้ ทำมุมกับผนัง (Surface Solar Azimuth) X_2
3. สัดส่วนของสภาพท้องฟ้าระหว่าง $I_{testday}$ X_3
 $I_{clearday}$

- ตัวแปรตาม คือปริมาณการแผ่รังสีดวงอาทิตย์แนวตั้งภายใต้ร่มเงาในแต่ละทิศ Y
การทำสมการถดถอย เพื่อหาความสัมพันธ์ดังกล่าวเป็นแนวทางที่ใช้คาดการณ์

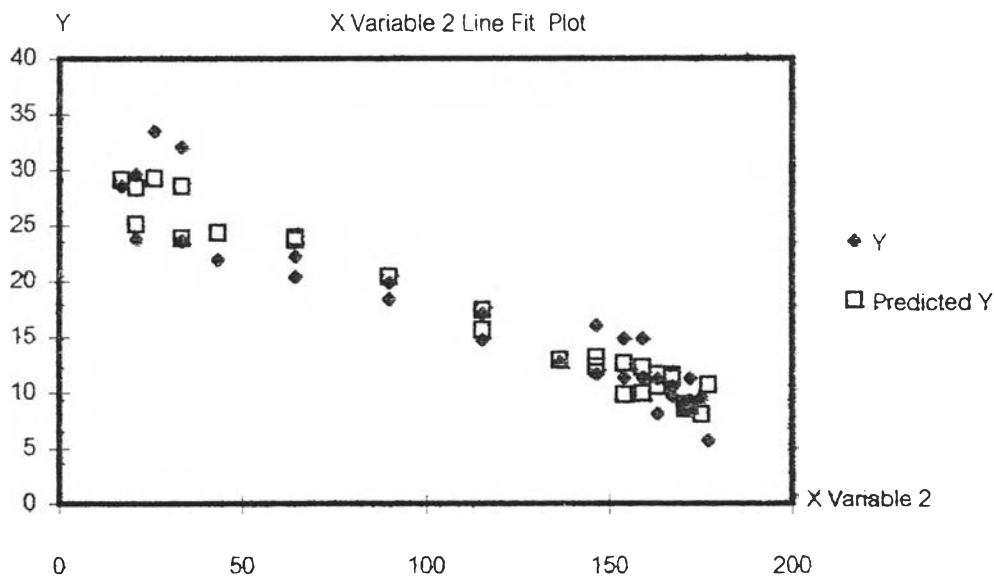
ปริมาณการแผ่รังสีภายใต้ร่มเงา ($I_{tv\ inshade}$) ของตัวอย่างต้นไม้ทั้ง 2 ชนิด ในสภาพท้องฟ้าแจ่มใส เพื่อสามารถนำไปวิเคราะห์หาการเกิดความร้อนที่จะเข้าสู่อาคารทางผนังก่ออิฐฉาบปูนได้ต่อไป ข้อมูลที่นำมาใช้ในการทำสมการถดถอย คือ

ต้นจามจุรี ปริมาณการแผ่รังสีดวงอาทิตย์ในแนวตั้งภายใต้ร่มเงา จากตารางที่ 6.16.-6.19 ซึ่งเป็นข้อมูลที่ทำกรวิเคราะห์สภาพแวดล้อมแล้ว มุมดวงอาทิตย์เหนือแนวระนาบนอน และมุมแนวระนาบทำกับผนัง จากตารางการหาปริมาณการแผ่รังสีในแนวตั้งของสภาพ ท้องฟ้าแจ่มใส ในวันที่ 16,17/3/99 (ตารางในภาคผนวก) ตามทิศต่าง ๆ สัดส่วนสภาพท้องฟ้า จากตารางที่ 6.12

ต้นพิกุล ปริมาณการแผ่รังสีดวงอาทิตย์ในแนวตั้งภายใต้ร่มเงา จากตารางที่ 6.16.-6.19 ซึ่งเป็นข้อมูลที่ทำกรวิเคราะห์สภาพแวดล้อมแล้ว มุมดวงอาทิตย์เหนือแนวระนาบนอน และมุมแนวระนาบทำกับผนัง จากตารางการหาปริมาณการแผ่รังสีในแนวตั้งของสภาพ ท้องฟ้าแจ่มใส ในวันที่ 16,13/4/99 (ตารางในภาคผนวก) ตามทิศต่าง ๆ สัดส่วนสภาพท้องฟ้า จากตารางที่ 6.13

ตารางที่ 7.1 แสดงผล Regression ทางทิศตะวันออกของต้นจามจุรี

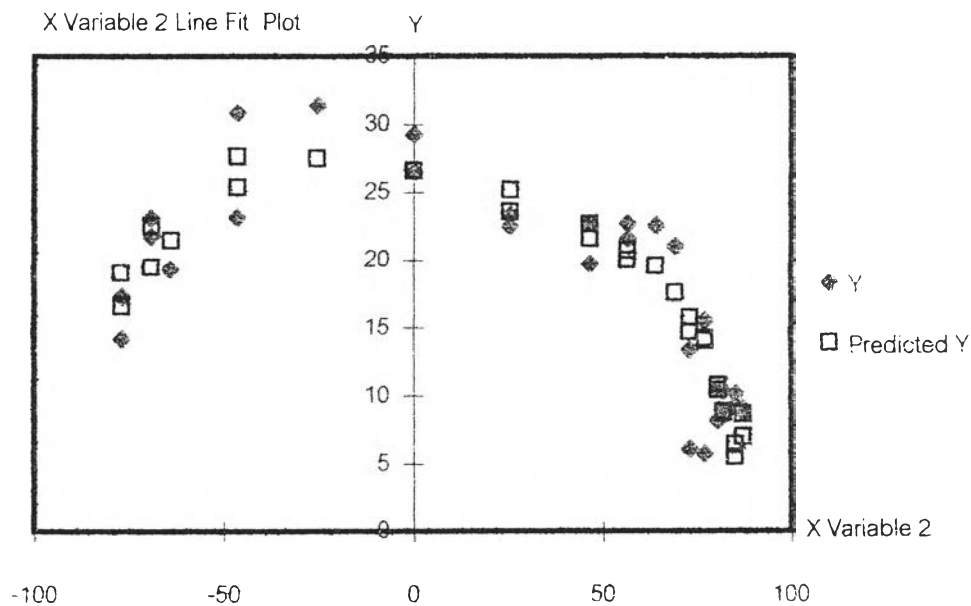
| SUMMARY OUTPUT | | EAST | | | | |
|-------------------------------|---------------------|-----------------------|---------------|----------------|------------------|-----------------------|
| <i>Regression Statistics</i> | | | | | | |
| Multiple R | | 0.961 | | | | |
| R Square | | 0.924 | | | | |
| Adjusted R Square | | 0.915 | | | | |
| Standard Error | | 2.214 | | | | |
| Observations | | 30 | | | | |
| <i>ANOVA</i> | | | | | | |
| | | <i>df</i> | <i>SS</i> | <i>MS</i> | <i>F</i> | <i>Significance F</i> |
| Regression | | 3 | 1553.527 | 517.842 | 105.625 | 0.000 |
| Residual | | 26 | 127.469 | 4.903 | | |
| Total | | 29 | 1680.996 | | | |
| | <i>Coefficients</i> | <i>Standard Error</i> | <i>t Stat</i> | <i>P-value</i> | <i>Lower 95%</i> | <i>Upper 95%</i> |
| Intercept | 24.571 | 2.689 | 9.137 | 0.000 | 19.043 | 30.098 |
| X Variable 1,altitude | 0.041 | 0.028 | 1.480 | 0.151 | -0.016 | 0.098 |
| X Variable 2,surf.sol.azimuth | -0.126 | 0.008 | -15.062 | 0.000 | -0.143 | -0.109 |
| X Variable 3,ratio | 10.300 | 3.247 | 3.172 | 0.004 | 3.626 | 16.975 |



กราฟที่ 7.1 แสดงความสัมพันธ์ของปริมาณ l inshade (Y) กับ Surface Solar Azimuth จากข้อมูลจริงและการคาดการณ์บนผนังทิศตะวันออกของต้นจามจุรี

ตารางที่ 7.2 แสดงผล Regression ทางทิศใต้ของต้นจามจรี

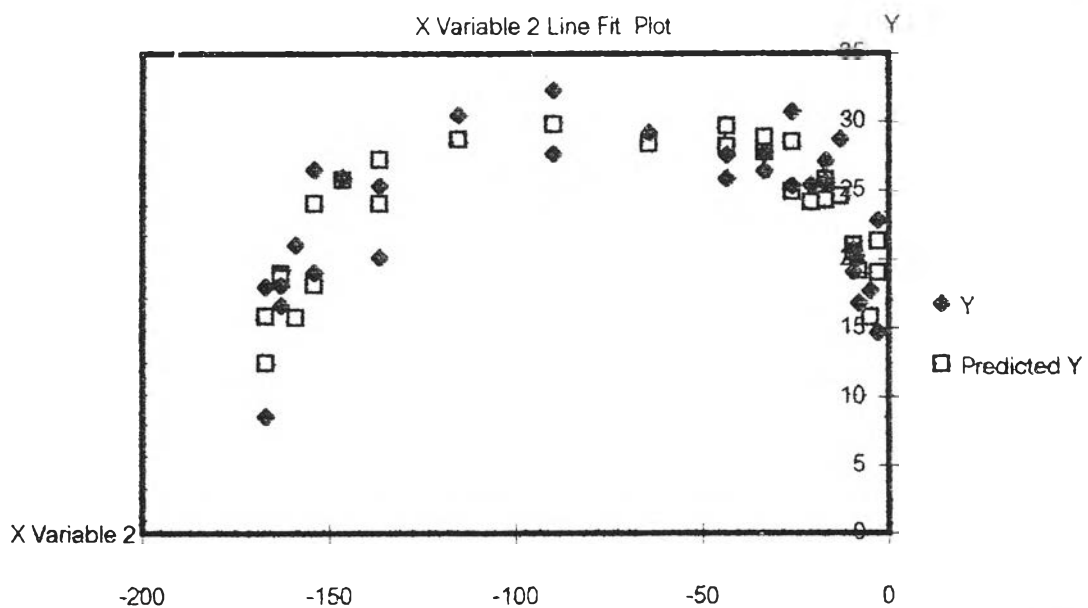
| SUMMARY OUTPUT | | SOUTH | | | | |
|-------------------------------|--------------|----------------|---------|---------|----------------|-----------|
| Regression Statistics | | | | | | |
| Multiple R | 0.904 | | | | | |
| R Square | 0.817 | | | | | |
| Adjusted R Square | 0.796 | | | | | |
| Standard Error | 3.428 | | | | | |
| Observations | 30 | | | | | |
| ANOVA | | | | | | |
| | df | SS | MS | F | Significance F | |
| Regression | 3 | 1364.758 | 454.919 | 38.704 | 0.000 | |
| Residual | 26 | 305.601 | 11.754 | | | |
| Total | 29 | 1670.359 | | | | |
| | Coefficients | Standard Error | t Stat | P-value | Lower 95% | Upper 95% |
| Intercept | 1.446 | 3.081 | 0.469 | 0.643 | -4.886 | 7.778 |
| X Variable 1,altitude | 0.288 | 0.035 | 8.130 | 0.000 | 0.215 | 0.361 |
| X Variable 2,surf.sol.azimuth | -0.044 | 0.014 | -3.216 | 0.003 | -0.072 | -0.016 |
| X Variable 3,ratio | 9.538 | 4.797 | 1.988 | 0.057 | -0.323 | 19.409 |



กราฟที่ 7.2 แสดงความสัมพันธ์ของปริมาณ I in shade (Y) กับ Surface Solar Azimuth จากข้อมูลจริงและการคาดการณ์บนผนังทิศใต้ของต้นจามจรี

ตารางที่ 7.3 แสดงผล Regression ทางทิศตะวันตกของต้นจามจุรี

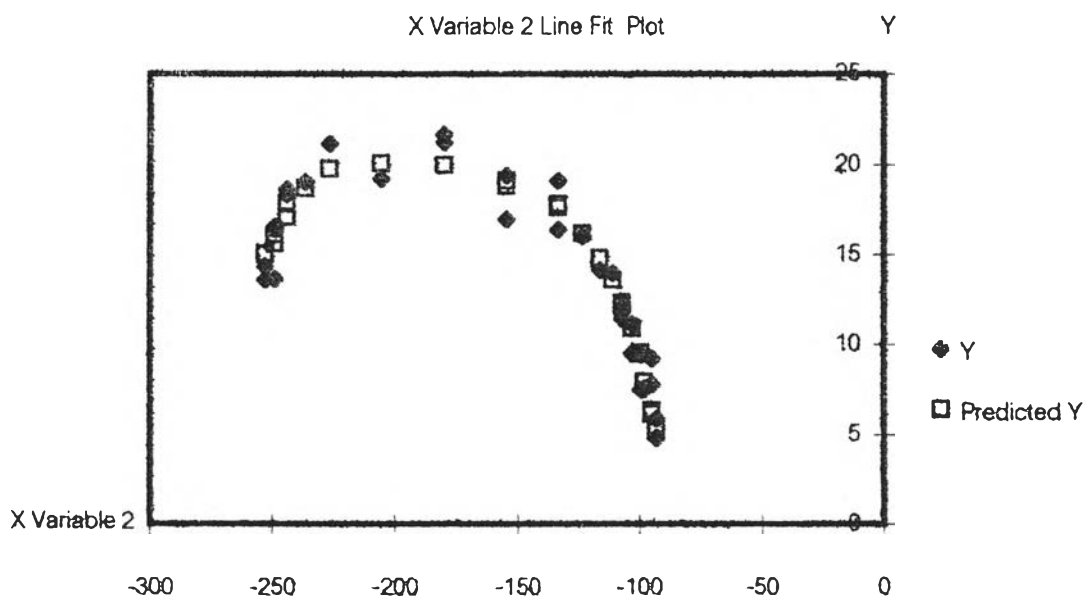
| SUMMARY OUTPUT | | WEST | | | | |
|-------------------------------|---------------------|-----------------------|---------------|----------------|-----------------------|------------------|
| <i>Regression Statistics</i> | | | | | | |
| Multiple R | | 0.898 | | | | |
| R Square | | 0.806 | | | | |
| Adjusted R Square | | 0.784 | | | | |
| Standard Error | | 2.584 | | | | |
| Observations | | 30 | | | | |
| <i>ANOVA</i> | | | | | | |
| | <i>df</i> | <i>SS</i> | <i>MS</i> | <i>F</i> | <i>Significance F</i> | |
| Regression | 3 | 722.425 | 240.808 | 36.074 | 0.000 | |
| Residual | 26 | 173.560 | 6.675 | | | |
| Total | 29 | 895.985 | | | | |
| | <i>Coefficients</i> | <i>Standard Error</i> | <i>t Stat</i> | <i>P-value</i> | <i>Lower 95%</i> | <i>Upper 95%</i> |
| Intercept | 6.706 | 2.434 | 2.755 | 0.011 | 1.702 | 11.710 |
| X Variable 1,altitude | 0.289 | 0.029 | 10.030 | 0.000 | 0.230 | 0.348 |
| X Variable 2,surf.sol.azimute | 0.040 | 0.008 | 4.883 | 0.000 | 0.023 | 0.057 |
| X Variable 3 | 13.365 | 3.178 | 4.206 | 0.000 | 6.834 | 19.897 |



กราฟที่ 7.3 แสดงความสัมพันธ์ของปริมาณ Inshade (Y) กับ Surface Solar Azimuth จากข้อมูลจริงและการคาดการณ์บนผนังทิศตะวันตกของต้นจามจุรี

ตารางที่ 7.4 แสดงผล Regression ทางทิศเหนือของต้นจามจุรี

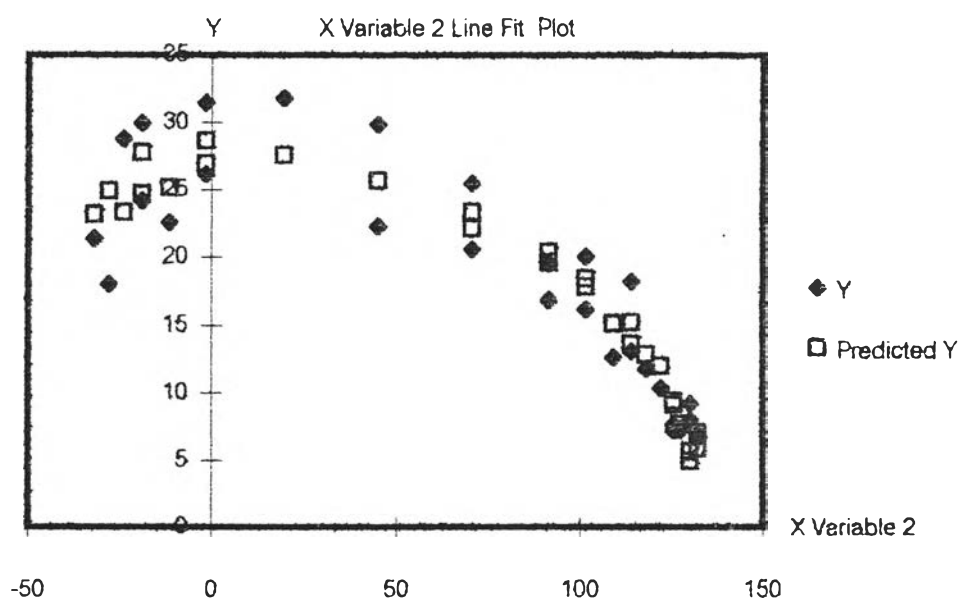
| SUMMARY OUTPUT | | NORTH | | | | |
|-------------------------------|---------------------|-----------------------|---------------|----------------|-----------------------|------------------|
| <i>Regression Statistics</i> | | | | | | |
| Multiple R | | 0.969 | | | | |
| R Square | | 0.940 | | | | |
| Adjusted R Square | | 0.933 | | | | |
| Standard Error | | 1.301 | | | | |
| Observations | | 30 | | | | |
| <i>ANOVA</i> | | | | | | |
| | <i>df</i> | <i>SS</i> | <i>MS</i> | <i>F</i> | <i>Significance F</i> | |
| Regression | 3 | 686.035 | 228.678 | 135.174 | 0.000 | |
| Residual | 26 | 43.985 | 1.692 | | | |
| Total | 29 | 730.020 | | | | |
| | <i>Coefficients</i> | <i>Standard Error</i> | <i>t Stat</i> | <i>P-value</i> | <i>Lower 95%</i> | <i>Upper 95%</i> |
| Intercept | 0.787 | 1.329 | 0.592 | 0.559 | -1.945 | 3.519 |
| X Variable 1,altitude | 0.203 | 0.015 | 13.468 | 0.000 | 0.172 | 0.234 |
| X Variable 2,surf.sol.azimute | -0.019 | 0.005 | -4.242 | 0.000 | -0.029 | -0.010 |
| X Variable 3,ratio | 1.604 | 1.671 | 0.960 | 0.346 | -1.831 | 5.039 |



กราฟที่ 7.4 แสดงความสัมพันธ์ของปริมาณ Inshade (Y) กับ Surface Solar Azimuth จากข้อมูลจริงและการคาดการณ์บนผนังทิศเหนือของต้นจามจุรี

ตารางที่ 7.5 แสดงผล Regression ทางทิศตะวันออกเฉียงใต้ของต้นจามจุรี

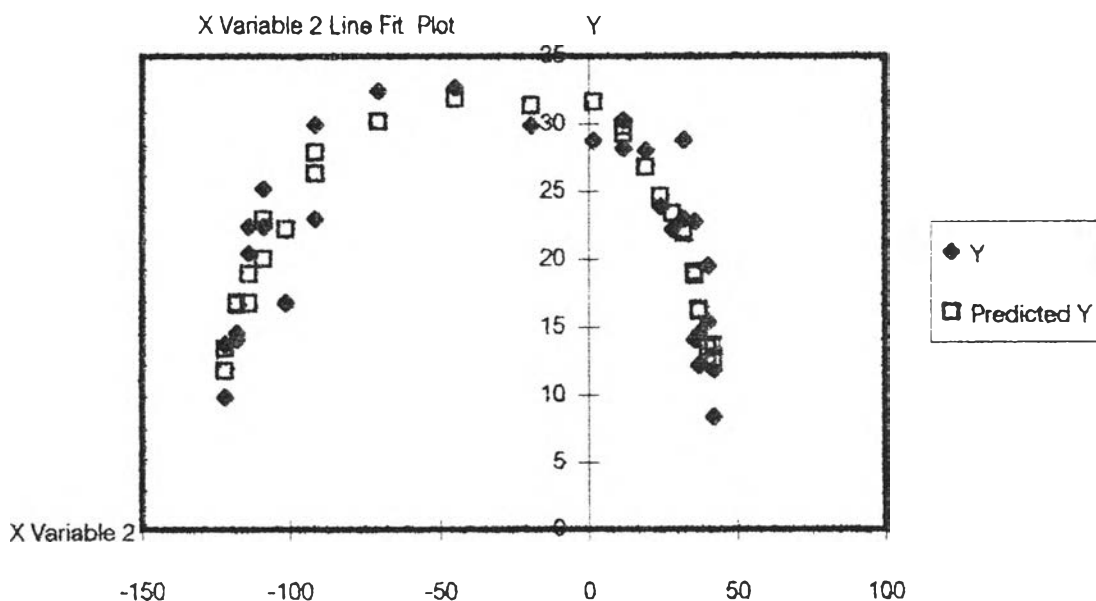
| SUMMARY OUTPUT | | SE | | | | |
|-------------------------------|---------------------|-----------------------|---------------|----------------|------------------|-----------------------|
| <i>Regression Statistics</i> | | | | | | |
| Multiple R | | 0.941 | | | | |
| R Square | | 0.886 | | | | |
| Adjusted R Square | | 0.873 | | | | |
| Standard Error | | 2.989 | | | | |
| Observations | | 30 | | | | |
| <i>ANOVA</i> | | | | | | |
| | | <i>df</i> | <i>SS</i> | <i>MS</i> | <i>F</i> | <i>Significance F</i> |
| Regression | | 3 | 1801.050 | 600.350 | 67.210 | 0.000 |
| Residual | | 26 | 232.245 | 8.932 | | |
| Total | | 29 | 2033.294 | | | |
| | <i>Coefficients</i> | <i>Standard Error</i> | <i>t Stat</i> | <i>P-value</i> | <i>Lower 95%</i> | <i>Upper 95%</i> |
| Intercept | 9.460 | 2.906 | 3.255 | 0.003 | 3.487 | 15.434 |
| X Variable 1,altitude | 0.230 | 0.033 | 6.935 | 0.000 | 0.162 | 0.298 |
| X Variable 2,surf.sol.azimute | -0.081 | 0.011 | -7.457 | 0.000 | -0.103 | -0.059 |
| X Variable 3,ratio | 7.073 | 3.790 | 1.866 | 0.073 | -0.718 | 14.863 |



กราฟที่ 7.5 แสดงความสัมพันธ์ของปริมาณ Inshade (Y) กับ Surface Solar Azimuth จากข้อมูลจริงและการคาดการณ์บนผนังทิศตะวันออกเฉียงใต้ของต้นจามจุรี

ตารางที่ 7.6 แสดงผล Regression ทางทิศตะวันตกเฉียงใต้ของต้นจามจุรี

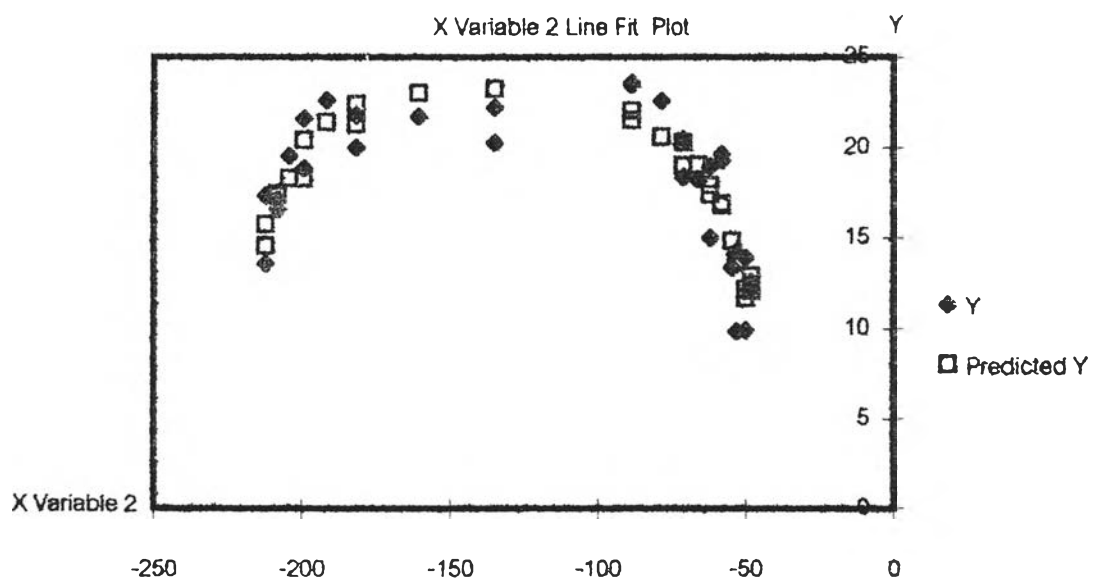
| SUMMARY OUTPUT | | SW | | | | |
|-------------------------------|---------------------|-----------------------|---------------|----------------|------------------|-----------------------|
| <i>Regression Statistics</i> | | | | | | |
| Multiple R | | 0.898 | | | | |
| R Square | | 0.806 | | | | |
| Adjusted R Square | | 0.784 | | | | |
| Standard Error | | 3.345 | | | | |
| Observations | | 30 | | | | |
| <i>ANOVA</i> | | | | | | |
| | | <i>df</i> | <i>SS</i> | <i>MS</i> | <i>F</i> | <i>Significance F</i> |
| Regression | | 3 | 1207.872 | 402.624 | 35.984 | 0.000 |
| Residual | | 26 | 290.913 | 11.189 | | |
| Total | | 29 | 1498.786 | | | |
| | <i>Coefficients</i> | <i>Standard Error</i> | <i>t Stat</i> | <i>P-value</i> | <i>Lower 95%</i> | <i>Upper 95%</i> |
| Intercept | 2.782 | 2.983 | 0.933 | 0.360 | -3.349 | 8.913 |
| X Variable 1,altitude | 0.386 | 0.039 | 9.959 | 0.000 | 0.306 | 0.465 |
| X Variable 2,surf.sol.azimute | 0.047 | 0.011 | 4.357 | 0.000 | 0.025 | 0.069 |
| X Variable 3,ratio | 6.690 | 4.100 | 1.632 | 0.115 | -1.738 | 15.118 |



กราฟที่ 7.6 แสดงความสัมพันธ์ของปริมาณ Inshade (Y) กับ Surface Solar Azimuth จากข้อมูลจริงและการคาดการณ์บนผนังทิศตะวันตกเฉียงใต้ของต้นจามจุรี

ตารางที่ 7.7 แสดงผล Regression ทางทิศตะวันตกเฉียงเหนือของต้นจามจุรี

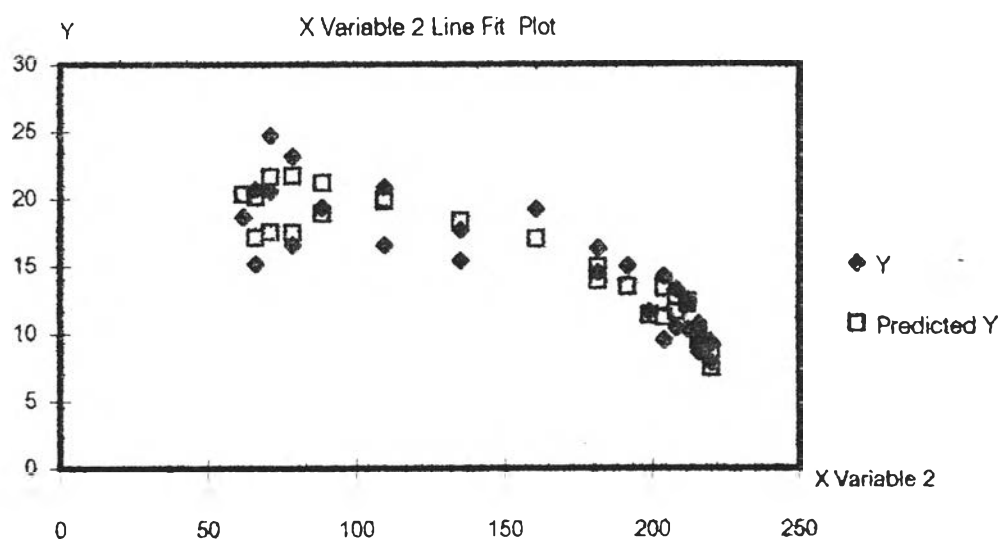
| SUMMARY OUTPUT | | NW | | | | |
|-------------------------------|---------------------|-----------------------|---------------|----------------|-----------------------|------------------|
| <i>Regression Statistics</i> | | | | | | |
| Multiple R | 0.900 | | | | | |
| R Square | 0.809 | | | | | |
| Adjusted R Square | 0.787 | | | | | |
| Standard Error | 1.845 | | | | | |
| Observations | 30 | | | | | |
| <i>ANOVA</i> | | | | | | |
| | <i>df</i> | <i>SS</i> | <i>MS</i> | <i>F</i> | <i>Significance F</i> | |
| Regression | 3 | 375.435 | 125.145 | 36.756 | 0.000 | |
| Residual | 26 | 88.524 | 3.405 | | | |
| Total | 29 | 463.959 | | | | |
| | <i>Coefficients</i> | <i>Standard Error</i> | <i>t Stat</i> | <i>P-value</i> | <i>Lower 95%</i> | <i>Upper 95%</i> |
| Intercept | 7.083 | 1.834 | 3.862 | 0.001 | 3.313 | 10.853 |
| X Variable 1,altitude | 0.194 | 0.021 | 9.408 | 0.000 | 0.152 | 0.237 |
| X Variable 2,surf.sol.azimute | 0.001 | 0.006 | 0.171 | 0.865 | -0.011 | 0.013 |
| X Variable 3,ratio | 4.761 | 2.388 | 1.993 | 0.057 | -0.149 | 9.670 |



กราฟที่ 7.7 แสดงความสัมพันธ์ของปริมาณ Inshade (Y) กับ Surface Solar Azimuth จากข้อมูลจริงและการคาดการณ์บนผนังทิศตะวันตกเฉียงเหนือของต้นจามจุรี

ตารางที่ 7.8 แสดงผล Regression ทางทิศตะวันออกเฉียงเหนือของต้นจามจุรี

| SUMMARY OUTPUT | | NE | | | | |
|-------------------------------|--------------|----------------|---------|---------|----------------|-----------|
| <i>Regression Statistics</i> | | | | | | |
| Multiple R | | 0.941 | | | | |
| R Square | | 0.885 | | | | |
| Adjusted R Square | | 0.871 | | | | |
| Standard Error | | 1.697 | | | | |
| Observations | | 30 | | | | |
| <i>ANOVA</i> | | | | | | |
| | df | SS | MS | F | Significance F | |
| Regression | 3 | 574.369 | 191.458 | 66.514 | 0.000 | |
| Residual | 26 | 74.840 | 2.878 | | | |
| Total | 29 | 649.209 | | | | |
| | Coefficients | Standard Error | t Stat | P-value | Lower 95% | Upper 95% |
| Intercept | 15.047 | 2.014 | 7.470 | 0.000 | 10.906 | 19.187 |
| X Variable 1,altitude | 0.099 | 0.021 | 4.737 | 0.000 | 0.056 | 0.141 |
| X Variable 2,surf.sol.azimute | -0.057 | 0.006 | -8.975 | 0.000 | -0.070 | -0.044 |
| X Variable 3,ratio | 9.346 | 2.395 | 3.903 | 0.001 | 4.424 | 14.268 |



กราฟที่ 7.8 แสดงความสัมพันธ์ของปริมาณ Inshade (Y) กับ Surface Solar Azimuth จากข้อมูลจริงและการคาดการณ์บนผนังทิศตะวันออกเฉียงเหนือของต้นจามจุรี

การหาความสัมพันธ์ของตัวแปรอิสระทั้งหมดกับปริมาณการแผ่รังสีแนวตั้งภายใต้ร่มเงา ที่ได้จากการเก็บข้อมูลจากการทำสมการถดถอยของต้นจามจุรีจะพบว่า ค่า Multiple R ที่ได้ของตัวแปรอิสระมีความสัมพันธ์กับตัวแปรตามในช่วงระหว่าง 0.898-0.969 โดยมี R ในช่วงระหว่าง 0.806-0.940 ซึ่งแสดงถึงการลดความผิดพลาดในการทำนายได้มาก แสดงให้ทราบถึงความสัมพันธ์ที่ได้อยู่ในระดับที่น่าพอใจ ถึงแม้ว่า P-value ของตัวแปรอิสระบางตัวในบางความสัมพันธ์จะมีค่ามาก (ถ้ามีค่าเข้าใกล้ 0 แสดงถึงความยอมรับได้อย่างมีนัยสำคัญ) ความผิดพลาดในการทำนายนี้อาจมีสาเหตุจาก

- การเก็บข้อมูล ซึ่งมีการเก็บข้อมูลโดยเครื่องมือ 1 ชิ้นเท่านั้นแต่ต้องมีการวัดปริมาณรังสีในทุก ๆ ทิศ ที่ควรจะวัดให้ได้ในช่วงเวลาเดียวกันทั้งหมด เมื่อมีการเปลี่ยนแปลงของสภาพท้องฟ้าก็ทำให้ข้อมูลบางข้อมูลมีการคลาดเคลื่อนและไม่อาจนำมาเป็นข้อมูลในการหาความสัมพันธ์บนพื้นฐานของตัวแปรอิสระตัวเดียวกันได้

- การเก็บข้อมูลจากสภาพแวดล้อมที่ทำการวิเคราะห์นั้นอาจเกิดการผิดพลาดจากการวิเคราะห์ปริมาณรังสีสะท้อนได้เนื่องจากการเปลี่ยนตำแหน่งการวัดในช่วงเวลาต่าง ๆ เพื่อให้ได้อยู่ในตำแหน่งภายใต้ร่มเงา สภาพท้องฟ้าแจ่มใส (โดยการสุ่มวัดจึงต้องมีการเปลี่ยนตำแหน่ง) ถึงแม้ว่าจะทำการเก็บข้อมูลให้อยู่ใกล้เคียงกับตำแหน่งที่กำหนดไว้

- เครื่องมือที่ใช้วัดมีความผิดพลาดและจากการอ่านค่าเนื่องจากเครื่องมือนี้มีลักษณะการบอกค่าเป็นเข็มชี้สเกลที่มีความละเอียดน้อย

จากการทำ Regression ของต้นจามจุรี สรุปได้ความสัมพันธ์ดังนี้

$$\text{ทิศ E} \quad I_{\text{inshade}} = 24.571 + (0.041X_1) - (0.126X_2) + (10.3X_3)$$

$$\text{ทิศ S} \quad I_{\text{inshade}} = 1.446 + (0.288X_1) - (0.044X_2) + (9.538X_3)$$

$$\text{ทิศ W} \quad I_{\text{inshade}} = 6.706 + (0.289X_1) - (0.044X_2) + (13.365X_3)$$

$$\text{ทิศ N} \quad I_{\text{inshade}} = 6.787 + (0.203X_1) - (0.019X_2) + (1.604X_3)$$

$$\text{ทิศ SE} \quad I_{\text{inshade}} = 9.460 + (0.230X_1) - (0.081X_2) + (7.073X_3)$$

$$\text{ทิศ SW} \quad I_{\text{inshade}} = 2.782 + (0.386X_1) - (0.047X_2) + (6.690X_3)$$

$$\text{ทิศ NW} \quad I_{\text{inshade}} = 7.083 + (0.174X_1) - (0.001X_2) + (4.761X_3)$$

$$\text{ทิศ NE} \quad I_{\text{inshade}} = 15.047 + (0.009X_1) - (0.057X_2) + (9.346X_3)$$

$$(I_{\text{inshade}} : \text{Btu/h} \cdot \text{ft}^2)$$

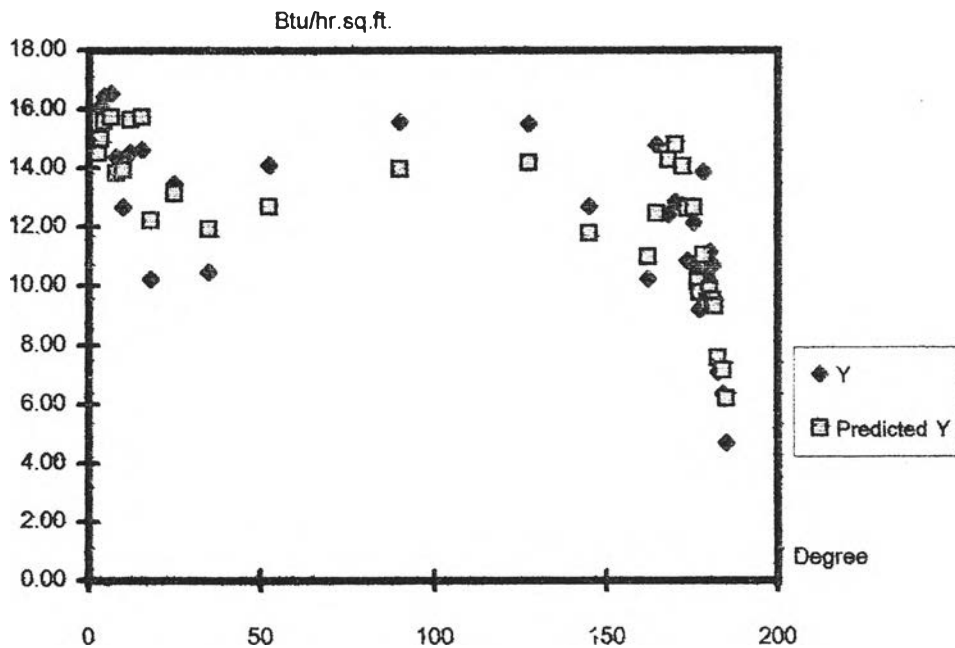
ตารางที่ 7.9 แสดงผล Regression ทางทิศตะวันออกของต้นพิกุล

SUMMARY OUTPUT

| <i>Regression Statistics</i> | |
|------------------------------|-------|
| Multiple R | 0.893 |
| R Square | 0.798 |
| Adjusted R Square | 0.776 |
| Standard Error | 1.394 |
| Observations | 32 |

| ANOVA | | | | | |
|------------|-----------|-----------|-----------|----------|-----------------------|
| | <i>df</i> | <i>SS</i> | <i>MS</i> | <i>F</i> | <i>Significance F</i> |
| Regression | 3 | 214.767 | 71.589 | 36.834 | 0.000 |
| Residual | 28 | 54.419 | 1.944 | | |
| Total | 31 | 269.187 | | | |

| | <i>Coefficients</i> | <i>Standard Error</i> | <i>t Stat</i> | <i>P-value</i> | <i>Lower 95%</i> | <i>Upper 95%</i> |
|---------------------|---------------------|-----------------------|---------------|----------------|------------------|------------------|
| Intercept | 4.674 | 1.417 | 3.298 | 0.003 | 1.771 | 7.577 |
| X 1 , Altitude | 0.065 | 0.015 | 4.424 | 0.000 | 0.035 | 0.094 |
| X 2 , Surf.Sol.Azi. | -0.008 | 0.004 | -2.079 | 0.047 | -0.016 | 0.000 |
| X 3 , Ratio | 14.889 | 2.313 | 6.437 | 0.000 | 10.151 | 19.627 |



กราฟที่ 7.9 แสดงความสัมพันธ์ของปริมาณ I insshade (Y) กับ Surface Solar Azimuth จากข้อมูลจริงและการคาดการณ์บนผนังทิศตะวันออกของต้นพิกุล

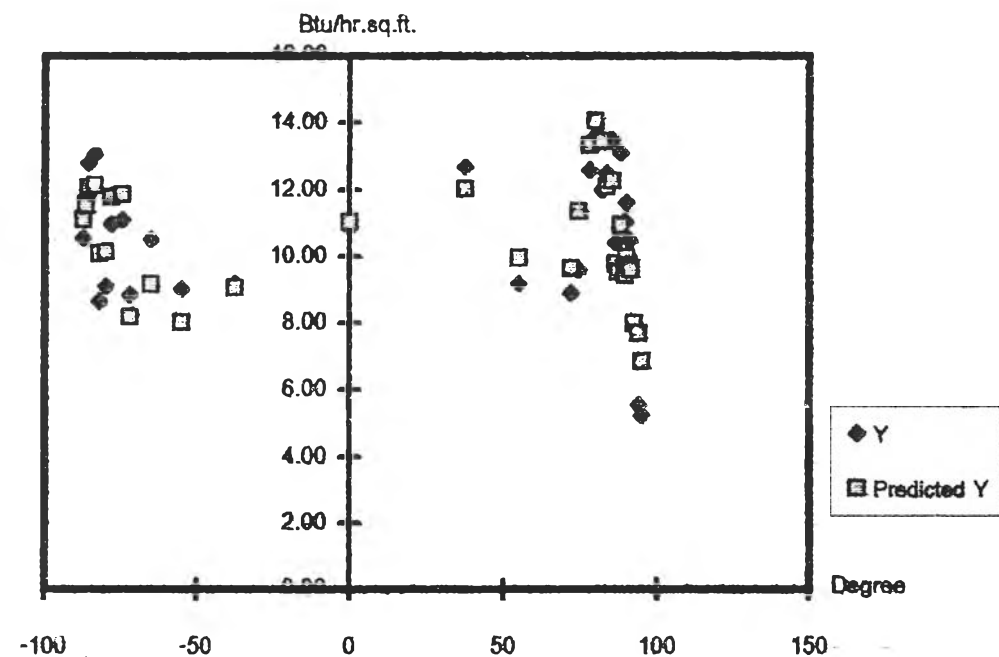
ตารางที่ 7.10 แสดงผล Regression ทางทิศใต้ของต้นพิกุล

SUMMARY OUTPUT

| Regression Statistics | |
|-----------------------|-------|
| Multiple R | 0.850 |
| R Square | 0.723 |
| Adjusted R Square | 0.694 |
| Standard Error | 1.150 |
| Observations | 32 |

| ANOVA | | | | | |
|------------|----|---------|--------|--------|----------------|
| | df | SS | MS | F | Significance F |
| Regression | 3 | 96.813 | 32.271 | 24.390 | 0.000 |
| Residual | 28 | 37.048 | 1.323 | | |
| Total | 31 | 133.861 | | | |

| | Coefficients | Standard Error | t Stat | P-value | Lower 95% | Upper 95% |
|---------------------|--------------|----------------|--------|---------|-----------|-----------|
| Intercept | 3.224 | 0.983 | 3.278 | 0.003 | 1.209 | 5.238 |
| X 1 , Altitude | 0.036 | 0.012 | 3.004 | 0.006 | 0.012 | 0.061 |
| X 2 , Surf.Sol.Azi. | 0.011 | 0.003 | 3.390 | 0.002 | 0.004 | 0.017 |
| X 3 , Ratio | 15.370 | 1.908 | 8.054 | 0.000 | 11.461 | 19.279 |



กราฟที่ 7.10 แสดงความสัมพันธ์ของปริมาณ I inshade (Y) กับ Surface Solar Azimuth จากข้อมูลจริงและการคาดการณ์บนผนังทิศใต้ของต้นพิกุล

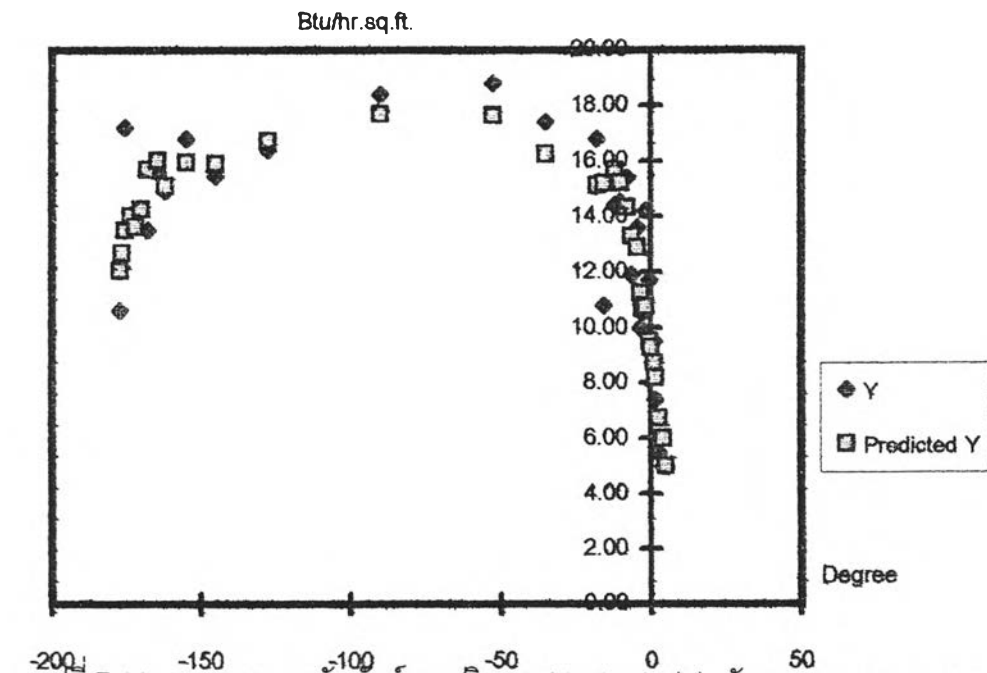
ตารางที่ 7.11 แสดงผล Regression ทางทิศตะวันตกของต้นพิกุล

SUMMARY OUTPUT

| Regression Statistics | |
|-----------------------|-------|
| Multiple R | 0.911 |
| R Square | 0.830 |
| Adjusted R Square | 0.812 |
| Standard Error | 1.637 |
| Observations | 32 |

| ANOVA | | | | | |
|------------|----|---------|---------|--------|----------------|
| | df | SS | MS | F | Significance F |
| Regression | 3 | 366.002 | 122.001 | 45.535 | 0.000 |
| Residual | 28 | 75.019 | 2.679 | | |
| Total | 31 | 441.021 | | | |

| | Coefficients | Standard Error | t Stat | P-value | Lower 95% | Upper 95% |
|---------------------|--------------|----------------|--------|---------|-----------|-----------|
| Intercept | 1.452 | 1.215 | 1.195 | 0.242 | -1.037 | 3.941 |
| X 1 , Altitude | 0.170 | 0.017 | 9.937 | 0.000 | 0.135 | 0.205 |
| X 2 , Surf.Sol.Azi. | 0.000 | 0.005 | 0.065 | 0.948 | -0.009 | 0.010 |
| X 3 . Ratio | 6.371 | 2.716 | 2.346 | 0.026 | 0.808 | 11.934 |



กราฟที่ 7.11 แสดงความสัมพันธ์ของปริมาณ I in shade (Y) กับ Surface Solar Azimuth จากข้อมูลจริงและการคาดการณ์บนผนังทิศตะวันตกของต้นพิกุล

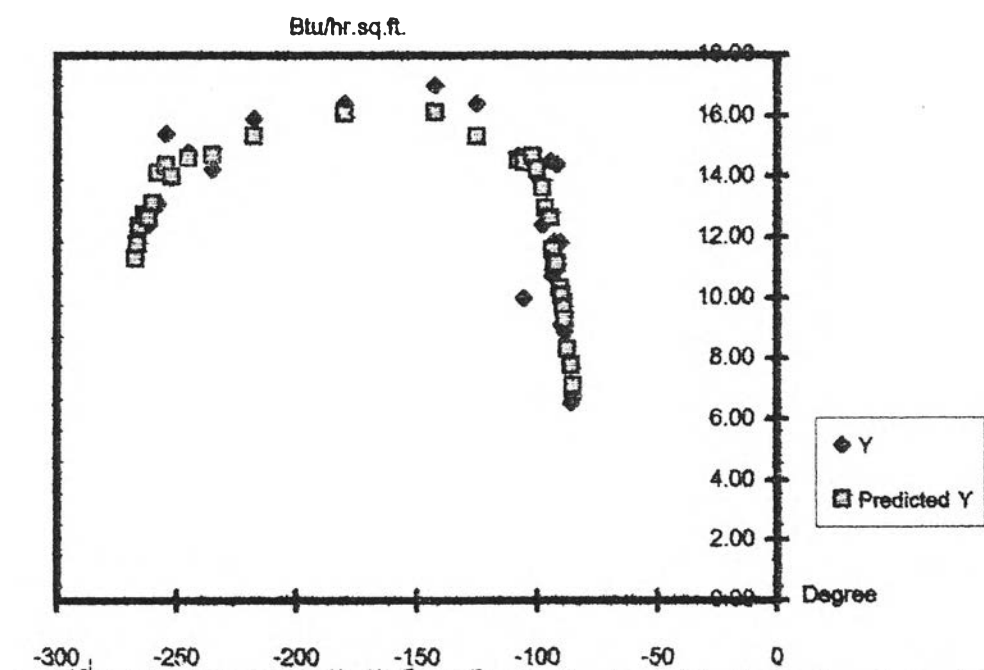
ตารางที่ 7.12 แสดงผล Regression ทางทิศเหนือของต้นพิกุล

SUMMARY OUTPUT

| Regression Statistics | |
|-----------------------|-------|
| Multiple R | 0.892 |
| R Square | 0.796 |
| Adjusted R Square | 0.774 |
| Standard Error | 1.292 |
| Observations | 32 |

| ANOVA | | | | | |
|------------|----|---------|--------|--------|----------------|
| | df | SS | MS | F | Significance F |
| Regression | 3 | 181.716 | 60.572 | 36.309 | 0.000 |
| Residual | 28 | 46.710 | 1.668 | | |
| Total | 31 | 228.427 | | | |

| | Coefficients | Standard Error | t Stat | P-value | Lower 95% | Upper 95% |
|---------------------|--------------|----------------|--------|---------|-----------|-----------|
| Intercept | 4.909 | 0.908 | 5.405 | 0.000 | 3.049 | 6.770 |
| X 1 , Altitude | 0.128 | 0.014 | 9.498 | 0.000 | 0.101 | 0.156 |
| X 2 , Surf.Sol.Azi. | 0.004 | 0.004 | 1.082 | 0.288 | -0.003 | 0.011 |
| X 3 , Ratio | 3.515 | 2.143 | 1.640 | 0.112 | -0.875 | 7.904 |



กราฟที่ 7.12 แสดงความสัมพันธ์ของปริมาณ I in shade (Y) กับ Surface Solar Azimuth จากข้อมูลจริงและการคาดการณ์บนผนังทิศเหนือของต้นพิกุล

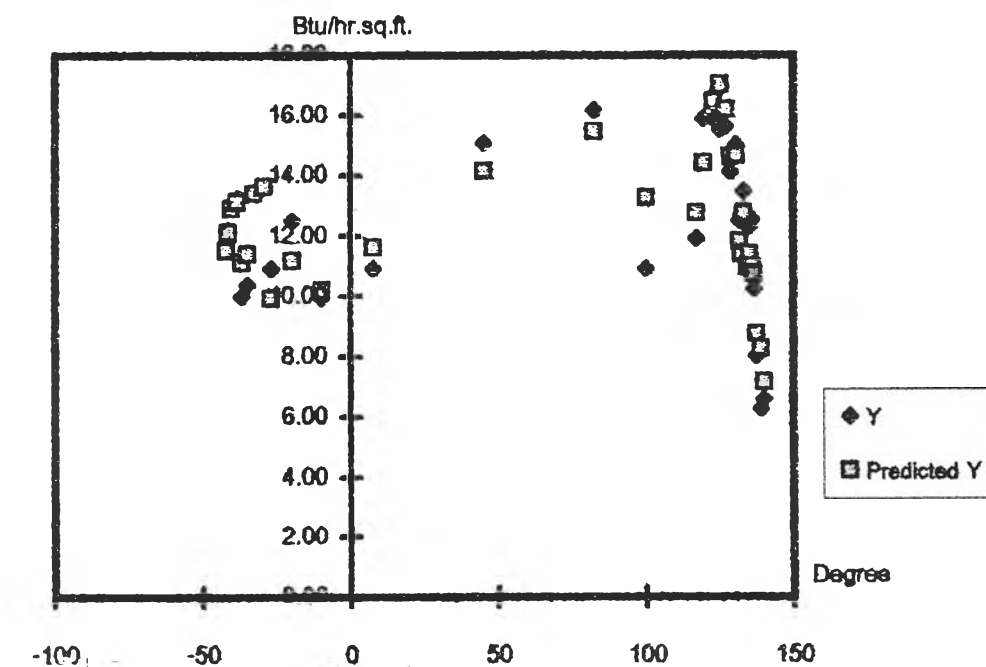
ตารางที่ 7.13 แสดงผล Regression ทางทิศตะวันออกเฉียงใต้ของต้นพิกุล

SUMMARY OUTPUT

| Regression Statistics | |
|-----------------------|-------|
| Multiple R | 0.915 |
| R Square | 0.837 |
| Adjusted R Square | 0.819 |
| Standard Error | 1.076 |
| Observations | 32 |

| ANOVA | | | | | |
|------------|----|---------|--------|--------|----------------|
| | df | SS | MS | F | Significance F |
| Regression | 3 | 166.322 | 55.441 | 47.851 | 0.000 |
| Residual | 28 | 32.441 | 1.159 | | |
| Total | 31 | 198.763 | | | |

| | Coefficients | Standard Error | t Stat | P-value | Lower 95% | Upper 95% |
|---------------------|--------------|----------------|--------|---------|-----------|-----------|
| Intercept | 0.734 | 1.002 | 0.733 | 0.470 | -1.318 | 2.787 |
| X 1 , Altitude | 0.088 | 0.011 | 7.851 | 0.000 | 0.065 | 0.111 |
| X 2 , Surf.Sol.Azi. | 0.020 | 0.003 | 6.860 | 0.000 | 0.014 | 0.026 |
| X 3 , Ratio | 16.417 | 1.786 | 9.193 | 0.000 | 12.759 | 20.075 |



กราฟที่ 7.13 แสดงความสัมพันธ์ของปริมาณ I insshade (Y) กับ Surface Solar Azimuth จากข้อมูลจริงและการคาดการณ์บนผนังทิศตะวันออกเฉียงใต้ของต้นพิกุล

ตารางที่ 7.14 แสดงผล Regression ทางทิศตะวันตกเฉียงใต้ของต้นพิกุล

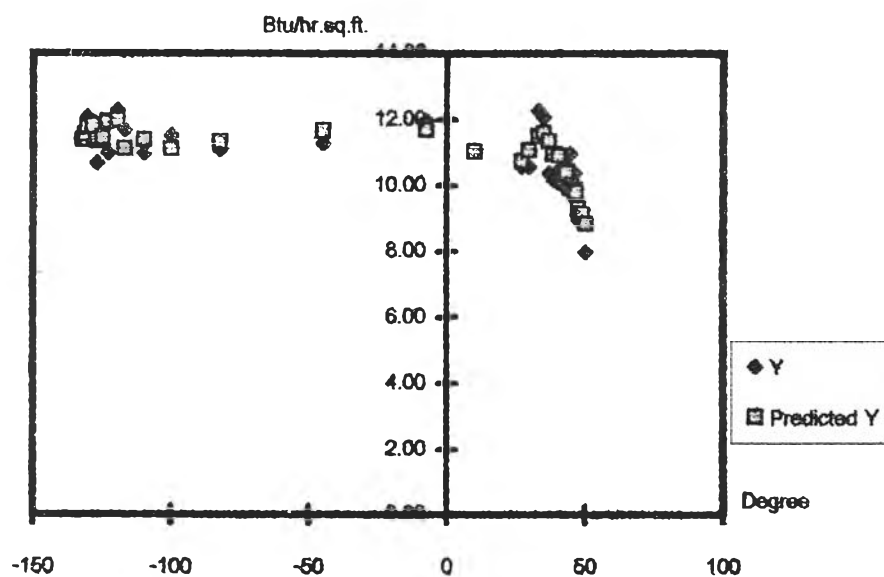
SUMMARY OUTPUT

| Regression Statistics | |
|-----------------------|-------|
| Multiple R | 0.853 |
| R Square | 0.727 |
| Adjusted R Square | 0.698 |
| Standard Error | 0.557 |
| Observations | 32 |

ANOVA

| | df | SS | MS | F | Significance F |
|------------|----|--------|-------|--------|----------------|
| Regression | 3 | 23.195 | 7.732 | 24.884 | 0.000 |
| Residual | 28 | 8.700 | 0.311 | | |
| Total | 31 | 31.895 | | | |

| | Coefficients | Standard Error | t Stat | P-value | Lower 95% | Upper 95% |
|---------------------|--------------|----------------|--------|---------|-----------|-----------|
| Intercept | 8.011 | 0.441 | 18.169 | 0.000 | 7.108 | 8.914 |
| X 1 , Altitude | 0.028 | 0.006 | 4.844 | 0.000 | 0.016 | 0.040 |
| X 2 , Surf.Sol.Azi. | -0.002 | 0.002 | -1.609 | 0.119 | -0.005 | 0.001 |
| X 3 , Ratio | 3.837 | 0.925 | 4.149 | 0.000 | 1.943 | 5.732 |



กราฟที่ 7.14 แสดงความสัมพันธ์ของปริมาณ Inshade (Y) กับ Surface Solar Azimuth จากข้อมูลจริงและการคาดการณ์บนผนังทิศตะวันตกเฉียงใต้ของต้นพิกุล

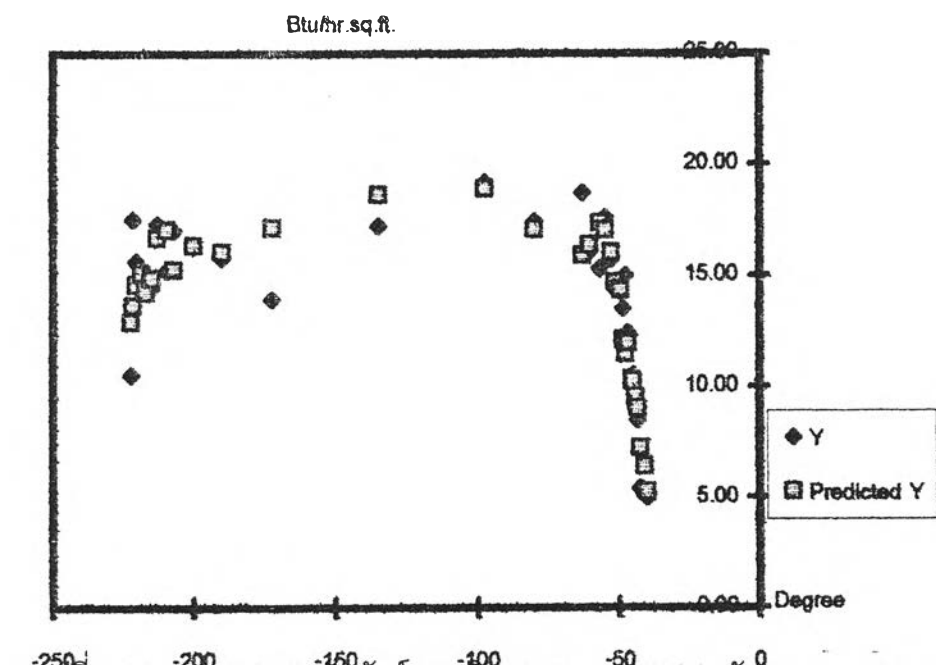
ตารางที่ 7.15 แสดงผล Regression ทางทิศตะวันตกเฉียงเหนือของต้นพิกุล

SUMMARY OUTPUT

| Regression Statistics | |
|-----------------------|-------|
| Multiple R | 0.916 |
| R Square | 0.836 |
| Adjusted R Square | 0.821 |
| Standard Error | 1.651 |
| Observations | 32 |

| ANOVA | | | | | |
|------------|----|---------|---------|--------|----------------|
| | df | SS | MS | F | Significance F |
| Regression | 3 | 395.828 | 131.943 | 48.415 | 0.000 |
| Residual | 28 | 76.307 | 2.725 | | |
| Total | 31 | 472.135 | | | |

| | Coefficients | Standard Error | t Stat | P-value | Lower 95% | Upper 95% |
|---------------------|--------------|----------------|--------|---------|-----------|-----------|
| Intercept | 1.262 | 1.176 | 1.073 | 0.293 | -1.147 | 3.671 |
| X 1 , Altitude | 0.178 | 0.017 | 10.281 | 0.000 | 0.142 | 0.213 |
| X 2 , Surf.Sol.Azi. | 0.005 | 0.005 | 1.054 | 0.301 | -0.005 | 0.014 |
| X 3 , Ratio | 10.003 | 2.739 | 3.652 | 0.001 | 4.392 | 15.613 |



กราฟที่ 7.15 แสดงความสัมพันธ์ของปริมาณ Inshade (Y) กับ Surface Solar Azimuth จากข้อมูลจริงและการคาดการณ์บนผนังทิศตะวันตกเฉียงเหนือของต้นพิกุล

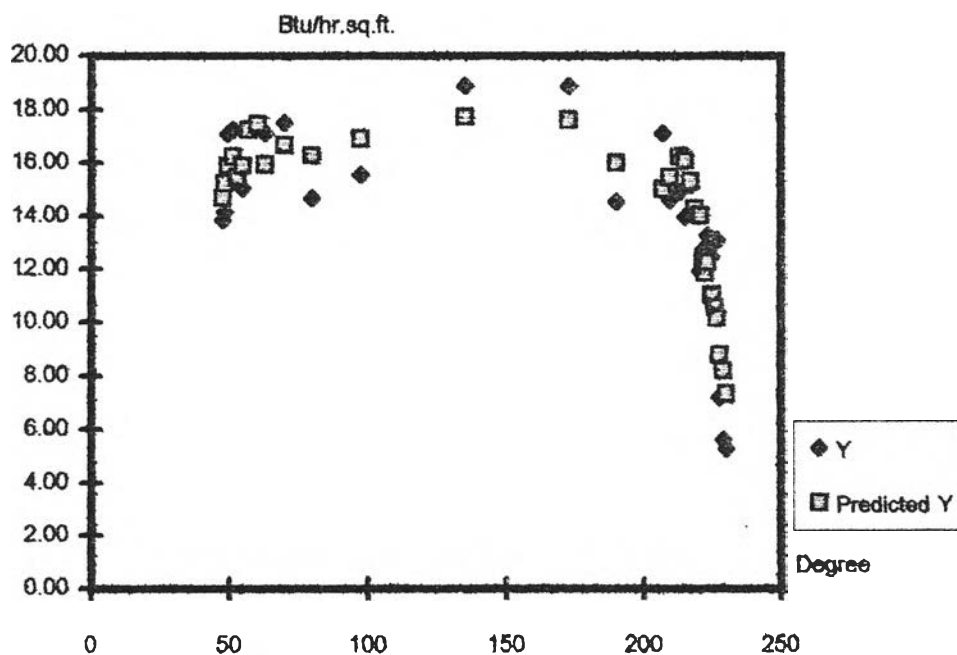
ตารางที่ 7.16 แสดงผล Regression ทางทิศตะวันออกเฉียงเหนือของต้นพิกุล

SUMMARY OUTPUT

| Regression Statistics | |
|-----------------------|-------|
| Multiple R | 0.892 |
| R Square | 0.795 |
| Adjusted R Square | 0.773 |
| Standard Error | 1.565 |
| Observations | 32 |

| ANOVA | | | | | |
|------------|----|---------|--------|--------|----------------|
| | df | SS | MS | F | Significance F |
| Regression | 3 | 265.895 | 88.632 | 36.165 | 0.000 |
| Residual | 28 | 68.620 | 2.451 | | |
| Total | 31 | 334.515 | | | |

| | Coefficients | Standard Error | t Stat | P-value | Lower 95% | Upper 95% |
|---------------------|--------------|----------------|--------|---------|-----------|-----------|
| Intercept | 5.681 | 1.737 | 3.271 | 0.003 | 2.124 | 9.239 |
| X 1 , Aititude | 0.124 | 0.016 | 7.541 | 0.000 | 0.090 | 0.157 |
| X 2 , Surf.Sol.Azi. | -0.006 | 0.004 | -1.382 | 0.178 | -0.015 | 0.003 |
| X 3 , Ratio | 7.981 | 2.597 | 3.073 | 0.005 | 2.661 | 13.302 |



กราฟที่ 7.16 แสดงความสัมพันธ์ของปริมาณ I insshade (Y) กับ Surface Solar Azimuth จากข้อมูลจริงและการคาดการณ์บนผนังทิศตะวันออกเฉียงเหนือของต้นพิกุล

การหาความสัมพันธ์ของตัวแปรอิสระทั้งหมดกับ I inshade ที่ได้จากการเก็บข้อมูลจากการทำสมการถดถอยของต้นพิกุลจะพบว่า ค่า Multiple R ที่ได้ของตัวแปรอิสระมีความสัมพันธ์กับตัวแปรตามในช่วงระหว่าง 0.850-0.915 โดยมี R^2 ในช่วงระหว่าง 0.723-0.838 ซึ่งแสดงถึงการลดความผิดพลาดในการทำนายได้มากพอสมควร แสดงให้ทราบถึงความสัมพันธ์ที่ได้อยู่ในระดับที่น่าพอใจ พอที่จะนำไปใช้ในการคาดการณ์ได้พอสมควร และ P-Value ของตัวแปรอิสระบางตัวในบางความสัมพันธ์จะมีค่ามาก แต่ส่วนใหญ่มีค่าเข้าใกล้ 0 ซึ่งทำให้ความสัมพันธ์ที่ได้พอที่จะนำไปใช้ในการคาดการณ์ได้ต่อไป สำหรับความผิดพลาดในการทำนายในส่วนของ การเก็บข้อมูลต้นพิกุลนี้ สาเหตุเดียวกันกับต้นจามจุรี และที่มีความผิดพลาดมากกว่าก็เนื่องจากสาเหตุต่อไปนี้

- เนื่องจากในวันที่ทำการเก็บข้อมูลสภาพอากาศและท้องฟ้ามีความแปรปรวนมาก ปริมาณเมฆมีสูง และลมที่พัดแรงในบางช่วงทำให้สภาพท้องฟ้าเปลี่ยนแปลงเร็ว (ซึ่งเป็นสาเหตุหนึ่งที่ทำให้ต้องเก็บข้อมูลทุก 15 นาที) การเก็บข้อมูลจากเครื่องมือเพียง 1 ชิ้น จึงทำให้ข้อมูลที่ได้มีการคาดเคลื่อนได้สูง เมื่อนำมาใช้หาความสัมพันธ์บนพื้นฐานของตัวแปรอิสระตัวเดียวกัน
- เครื่องมือที่ใช้วัดนี้มีความผิดพลาดมากขึ้นเนื่องจากเกิดการชำรุดและผ่านการซ่อมแซมซึ่งอาจจะมีการคาดเคลื่อน ถึงแม้ว่าได้ทำการเทียบค่ากับเครื่องมือวัดเครื่องอื่นแล้ว

จากการทำ Regression ของต้นพิกุลสรุปได้ความสัมพันธ์ดังนี้

$$\text{ทิศ E} \quad I \text{ inshade} = 4.674 + (0.065X_1) - (0.008X_2) + (14.889X_3)$$

$$\text{ทิศ S} \quad I \text{ inshade} = 3.223 + (0.036X_1) - (0.010X_2) + (15.369X_3)$$

$$\text{ทิศ W} \quad I \text{ inshade} = 1.451 + (0.170X_1) - (0.0002X_2) + (6.770X_3)$$

$$\text{ทิศ N} \quad I \text{ inshade} = 4.909 + (0.128X_1) - (0.003X_2) + (3.514X_3)$$

$$\text{ทิศ SE} \quad I \text{ inshade} = 0.734 + (0.088X_1) - (0.020X_2) + (16.416X_3)$$

$$\text{ทิศ SW} \quad I \text{ inshade} = 8.010 + (0.028X_1) - (0.002X_2) + (3.357X_3)$$

$$\text{ทิศ NW} \quad I \text{ inshade} = 1.261 + (0.177X_1) - (0.004X_2) + (10.002X_3)$$

$$\text{ทิศ NE} \quad I \text{ inshade} = 5.681 + (0.123X_1) - (0.005X_2) + (7.981X_3)$$

(I inshade : $\text{Btu/h} \cdot \text{ft}^2$)

7.2 การประเมินผล การลดความร้อนให้แก่ผนังอาคาร

แนวทางการลดความร้อนจากการแผ่รังสีของดวงอาทิตย์ที่เข้าสู่อาคารทางทิศต่างๆ โดยการสกัดกั้นของต้นไม้ ทำให้ค่าการแผ่รังสีมีปริมาณลดลง และส่งผลให้อุณหภูมิไซล-แอร์ ซึ่งเป็นอุณหภูมิเสมือนอุณหภูมิผิวผนังอาคารลดลงได้พิจารณาจาก

$$\text{Sol-Air Temperature } (t_e) = t_o + \alpha I_t / h_o - \Sigma \Delta R / h_o$$

$$t_o = \text{อุณหภูมิอากาศภายนอก } (^{\circ}\text{C})$$

$$I_t = \text{ปริมาณรังสีทั้งหมดบนวัตถุ } (\text{W}/\text{m}^2)$$

$$\alpha/h_o = 0.026 \text{ ในกรณีที่วัตถุมีสีอ่อน}$$

$$\Sigma \Delta R = 0 \text{ ณ ผิวผนังแนวตั้ง}$$

ในงานวิจัยนี้ได้พิจารณาถึงการลดความร้อนที่เข้าสู่อาคารทางผนังอาคารที่เป็นผนังทึบ ซึ่งจะสามารถนำมาใช้คำนวณหาปริมาณความร้อนที่เข้าสู่อาคารได้ และเลือกใช้ผนังก่ออิฐฉาบปูน ซึ่งเป็นวัสดุที่ใช้กันทั่วไปในประเทศ ให้เป็นมาตรฐานในการเปรียบเทียบอิทธิพลของต้นไม้ยืนต้นกับการแผ่รังสีของดวงอาทิตย์ โดยไม่มีการบังเงาของต้นไม้ ณ วันที่สภาพท้องฟ้าแจ่มใส โดยการนำความสัมพันธ์ที่ได้จากการทำสมการถดถอย มาแทนค่าหาปริมาณการแผ่รังสีภายใต้ร่มเงาของต้นไม้แต่ละชนิด โดยกำหนดให้

- X_1 และ X_2 เป็นค่า มุมดวงอาทิตย์ที่อยู่เหนือแนวระนาบนอน และมุมดวงอาทิตย์ในแนวระนาบจากทิศใต้ทำกับผนังของวันที่ต้องการทราบผล
- X_3 เป็นค่าสัดส่วนของสภาพท้องฟ้า ซึ่งกำหนดให้ = 1 (สภาพท้องฟ้าแจ่มใส)

จากนั้นก็สามารรถคำนวณหาอุณหภูมิ ไซล-แอร์ ที่เกิด ณ ผิวผนังได้ และสามารถเปรียบเทียบการลดความร้อนของต้นไม้ทั้ง 2 ชนิด จากร่มเงาโดยพิจารณาการลดอุณหภูมิ ไซล-แอร์ เมื่อเทียบกับไม่มีการบังเงาของต้นไม้ ณ สภาพท้องฟ้าแจ่มใส

ตารางที่ 7.17 แสดงการหา Sol-air Temperature บนผนังอาคาร เนื่องจากการบังเงาของ ต้นจามจุรี , ต้นพิกุล และ ไม่มีการบังเงา ในช่วงเวลาที่เกิดการแผ่รังสีของดวงอาทิตย์ ทางทิศตะวันออก

ในสภาพท้องฟ้า Clearsky ของวันที่ 16 มีนาคม 1994 โดยอาศัยข้อมูลจุดอุณหภูมิอากาศ (Dbt) ของกรมอุตุนิยมวิทยา1994

| จามจุรี | | | | | | | | พิกุล | | | | | | OUTDOOR | | | |
|-------------|-----|----------|----------------|-------|------------------------|---------|---------------|-------|-------|------|------------------------|---------|---------------|-------------------------------|---------|----------------|--------|
| Date | hr. | x1 | x2 | x3 | I inshade (W/sq.m.) | dbt(°C) | Sol-air temp. | x1 | x2 | x3 | I inshade (W/sq.m.) | dbt(°C) | Sol-air temp. | I total vertical (W/sq.m.) | dbt(°C) | Sol-air temp. | |
| | | Altitude | Surf. Sol.Azi. | ratio | | | °C | | | | | | Altitude | | | Surf. Sol.Azi. | ratio |
| 16 MAR.1994 | 7 | 13 | 7 | 1.00 | 108.92 | 24.3 | 27.13 | 13 | 7 | 1.00 | 64.21 | 24.3 | 25.97 | 706.34 | 24.3 | 42.66 | |
| | 8 | 28 | 11 | 1.00 | 109.27 | 25 | 27.84 | 28 | 11 | 1.00 | 67.19 | 25 | 26.75 | 884.22 | 25 | 47.99 | |
| | 9 | 42 | 17 | 1.00 | 108.69 | 27.1 | 29.93 | 42 | 17 | 1.00 | 69.91 | 27.1 | 28.92 | 827.27 | 27.1 | 48.61 | |
| | 10 | 56 | 26 | 1.00 | 106.93 | 29 | 31.78 | 56 | 26 | 1.00 | 72.55 | 29 | 30.89 | 660.94 | 29 | 46.18 | |
| | 11 | 68 | 43.5 | 1.00 | 101.52 | 30.6 | 33.24 | 68 | 43.5 | 1.00 | 74.57 | 30.6 | 32.54 | 442.77 | 30.6 | 42.11 | |
| | 12 | 74 | 90 | 1.00 | 83.81 | 27.4 | 29.58 | 74 | 90 | 1.00 | 74.63 | 27.4 | 29.34 | 100.83 | 27.4 | 30.02 | |
| | 13 | 68 | 136.5 | 1.00 | 64.55 | 27 | 28.68 | 68 | 136.5 | 1.00 | 72.22 | 27 | 28.88 | 100.23 | 27 | 29.61 | |
| | 14 | 56 | 154 | 1.00 | 56.04 | 25.5 | 26.98 | 56 | 154 | 1.00 | 69.32 | 25.5 | 27.30 | 98.25 | 25.5 | 28.05 | |
| | 15 | 42 | 163 | 1.00 | 50.65 | 26 | 27.32 | 42 | 163 | 1.00 | 66.22 | 26 | 27.72 | 93.92 | 26 | 28.44 | |
| | 16 | 30 | 170.5 | 1.00 | 46.12 | 26.4 | 27.60 | 30 | 170.5 | 1.00 | 63.57 | 26.4 | 28.05 | 86.83 | 26.4 | 28.66 | |
| | 17 | 22 | 175 | 1.00 | 43.30 | 28.5 | 27.63 | 22 | 175 | 1.00 | 61.82 | 28.5 | 28.11 | 63.80 | 28.5 | 28.15 | |
| | | | | | | SUM= | 317.67 | | | | | SUM= | 314.46 | | | SUM= | 400.60 |

ตารางที่ 7.18 แสดงการหา Sol-air Temperature บนผนังอาคาร เนื่องจากการบังเงาของ ต้นจามจุรี , ต้นพิทูล และ ไม่มีการบังเงา ในช่วงเวลาที่เกิดการแผ่รังสีของดวงอาทิตย์ ทางทิศใต้

ในสภาพท้องฟ้า Clearsky ของวันที่ 16 มีนาคม 1994 โดยอาศัยข้อมูลอุณหภูมิอากาศ (Dbt) ของกรมอุตุนิยมวิทยา1994

| จามจุรี | | | | | | | | พิทูล | | | | | | OUTDOOR | | | | |
|-------------|-----|----------|----------------|-------|-----------|---------|---------------|--------|-----|------|-----------|---------|---------------|------------------|---------|---------------|-----------|----|
| Date | hr. | x1 | x2 | x3 | I inshade | dbt(°C) | Sol-air temp. | x1 | x2 | x3 | I inshade | dbt(°C) | Sol-air temp. | I total vertical | dbt(°C) | Sol-air temp. | | |
| | | Altitude | Surf. Sol.Azi. | ratio | (W/sq.m.) | | °C | | | | | | (W/sq.m.) | | | °C | (W/sq.m.) | °C |
| 16 MAR.1994 | 7 | 13 | -87 | 1.00 | 58.54 | 24.3 | 25.82 | 13 | -87 | 1.00 | 57.39 | 24.3 | 25.79 | 168.92 | 24.3 | 28.69 | | |
| | 8 | 28 | -82 | 1.00 | 71.48 | 25 | 26.86 | 28 | -82 | 1.00 | 59.25 | 25 | 26.54 | 289.60 | 25 | 32.53 | | |
| | 9 | 42 | -77 | 1.00 | 83.51 | 27.1 | 29.27 | 42 | -77 | 1.00 | 61.00 | 27.1 | 28.69 | 363.80 | 27.1 | 36.56 | | |
| | 10 | 56 | -67 | 1.00 | 94.84 | 29 | 31.47 | 56 | -67 | 1.00 | 62.90 | 29 | 30.64 | 407.91 | 29 | 39.61 | | |
| | 11 | 68 | -49 | 1.00 | 103.24 | 30.6 | 33.28 | 68 | -49 | 1.00 | 64.84 | 30.6 | 32.29 | 428.86 | 30.6 | 41.75 | | |
| | 12 | 74 | 0 | 1.00 | 101.89 | 27.4 | 30.05 | 74 | 0 | 1.00 | 67.06 | 27.4 | 29.14 | 449.37 | 27.4 | 39.08 | | |
| | 13 | 68 | 49 | 1.00 | 89.64 | 27 | 29.33 | 68 | 49 | 1.00 | 67.93 | 27 | 28.77 | 428.86 | 27 | 38.15 | | |
| | 14 | 56 | 67 | 1.00 | 76.24 | 25.5 | 27.48 | 56 | 67 | 1.00 | 67.13 | 25.5 | 27.25 | 407.91 | 25.5 | 36.11 | | |
| | 15 | 42 | 77 | 1.00 | 62.13 | 26 | 27.62 | 42 | 77 | 1.00 | 65.86 | 26 | 27.71 | 363.80 | 26 | 35.46 | | |
| | 16 | 30 | 82 | 1.00 | 50.53 | 26.4 | 27.71 | 30 | 82 | 1.00 | 64.65 | 26.4 | 28.08 | 271.68 | 26.4 | 33.46 | | |
| | 17 | 22 | 87 | 1.00 | 42.57 | 26.5 | 27.61 | 22 | 87 | 1.00 | 63.90 | 26.5 | 28.16 | 161.79 | 26.5 | 30.71 | | |
| | | | | | | | SUM= | 316.50 | | | | | | | SUM= | 313.05 | | |
| | | | | | | | | | | | | | | | SUM= | 392.10 | | |

ตารางที่ 7.19 แสดงการหา Sol-air Temperature บนผนังอาคาร เนื่องจากการบังเงาของ ต้นจามจุรี , ต้นพิกุล และ ไม่มีการบังเงา ในช่วงเวลาที่เกิดการแผ่รังสีของดวงอาทิตย์ ทางทิศตะวันตก

ในสภาพท้องฟ้า Clearsky ของวันที่ 16 มีนาคม 1994 โดยอาศัยข้อมูลอุณหภูมิอากาศ (Dbt) ของกรมอุตุนิยมวิทยา1994

| จามจุรี | | | | | | | | พิกุล | | | | | OUTDOOR | | | |
|-------------|-----|----------|----------------|-------|------------------------|---------|---------------|-------|------|------|------------------------|---------|---------------|-------------------------------|---------|----------------|
| Date | hr. | x1 | x2 | x3 | I Inshade (W/sq.m.) | dbt(°C) | Sol-air temp. | x1 | x2 | x3 | I inshade (W/sq.m.) | dbt(°C) | Sol-air temp. | I total vertical (W/sq.m.) | dbt(°C) | Sol-air temp. |
| | | Altitude | Surf. Sol.Azi. | ratio | | | °C | | | | | | Altitude | | | Surf. Sol.Azi. |
| 16 MAR.1994 | 7 | 13 | -177 | 1.00 | 97.51 | 24.3 | 26.84 | 13 | -177 | 1.00 | 31.54 | 24.3 | 25.12 | 105.79 | 24.3 | 27.05 |
| | 8 | 28 | -172 | 1.00 | 110.56 | 25 | 27.87 | 28 | -172 | 1.00 | 39.58 | 25 | 26.03 | 146.14 | 25 | 28.80 |
| | 9 | 42 | -167 | 1.00 | 122.69 | 27.1 | 30.29 | 42 | -167 | 1.00 | 47.10 | 27.1 | 28.32 | 159.71 | 27.1 | 31.25 |
| | 10 | 56 | -157 | 1.00 | 134.20 | 29 | 32.49 | 56 | -157 | 1.00 | 54.61 | 29 | 30.42 | 167.03 | 29 | 33.34 |
| | 11 | 68 | -139 | 1.00 | 142.87 | 30.6 | 34.31 | 68 | -139 | 1.00 | 61.06 | 30.6 | 32.19 | 170.40 | 30.6 | 35.03 |
| | 12 | 74 | -90 | 1.00 | 142.15 | 27.4 | 31.10 | 74 | -90 | 1.00 | 64.31 | 27.4 | 29.07 | 171.41 | 27.4 | 31.86 |
| | 13 | 68 | -41 | 1.00 | 130.50 | 27 | 30.39 | 68 | -41 | 1.00 | 61.12 | 27 | 28.59 | 442.77 | 27 | 38.51 |
| | 14 | 56 | -23 | 1.00 | 117.29 | 25.5 | 28.55 | 56 | -23 | 1.00 | 54.70 | 25.5 | 26.92 | 660.88 | 25.5 | 42.68 |
| | 15 | 42 | -13 | 1.00 | 103.26 | 26 | 28.68 | 42 | -13 | 1.00 | 47.19 | 26 | 27.23 | 827.27 | 26 | 47.51 |
| | 16 | 30 | -8 | 1.00 | 91.69 | 26.4 | 28.78 | 30 | -8 | 1.00 | 40.76 | 26.4 | 27.46 | 889.08 | 26.4 | 49.52 |
| | 17 | 22 | -3 | 1.00 | 83.76 | 26.5 | 28.68 | 22 | -3 | 1.00 | 36.47 | 26.5 | 27.45 | 721.58 | 26.5 | 45.26 |
| | | | | | | SUM= | 327.99 | | | | SUM= | 308.80 | | SUM= | 410.81 | |

ตารางที่ 7.20 แสดงการหา Sol-air Temperature บนผนังอาคาร เนื่องจากการบังเงาของ ต้นจามจุรี , ต้นพิกุล และ ไม่มีการบังเงา ในช่วงเวลาที่เกิดการแผ่รังสีของดวงอาทิตย์ ทางทิศเหนือ

ในสภาพท้องฟ้า Clearsky ของวันที่ 16 มีนาคม 1994 โดยอาศัยข้อมูลอุณหภูมิอากาศ (Dbt) ของกรมอุตุนิยมวิทยา 1994

| จามจุรี | | | | | | | | พิกุล | | | | | | OUTDOOR | | | | | |
|-------------|-----|----------|----------------|-------|------------------------|---------------|--------|-------|------|------|------------------------|---------------|-------|-------------------------------|---------|---------------|--|------|--------|
| Date | hr. | x1 | x2 | x3 | I inshade (W/sq.m.) | Sol-air temp. | | x1 | x2 | x3 | I inshade (W/sq.m.) | Sol-air temp. | | I total vertical (W/sq.m.) | dbt(°C) | Sol-air temp. | | | |
| | | Altitude | Surf. Sol.Azi. | ratio | | dbt(°C) | °C | | | | | dbt(°C) | °C | | | °C | | | |
| 16 MAR.1994 | 7 | 13 | -267 | 1.00 | 31.87 | 24.3 | 25.13 | 13 | -267 | 1.00 | 29.30 | 24.3 | 25.06 | 105.79 | 24.3 | 27.05 | | | |
| | 8 | 28 | -262 | 1.00 | 41.18 | 25 | 26.07 | 28 | -262 | 1.00 | 35.40 | 25 | 25.92 | 146.14 | 25 | 28.80 | | | |
| | 9 | 42 | -257 | 1.00 | 49.85 | 27.1 | 28.40 | 42 | -257 | 1.00 | 41.10 | 27.1 | 28.17 | 159.71 | 27.1 | 31.25 | | | |
| | 10 | 56 | -247 | 1.00 | 58.22 | 29 | 30.51 | 56 | -247 | 1.00 | 46.85 | 29 | 30.22 | 167.03 | 29 | 33.34 | | | |
| | 11 | 68 | -229 | 1.00 | 64.82 | 30.6 | 32.29 | 68 | -229 | 1.00 | 51.87 | 30.6 | 31.95 | 170.40 | 30.6 | 35.03 | | | |
| | 12 | 74 | -180 | 1.00 | 65.73 | 27.4 | 29.11 | 74 | -180 | 1.00 | 54.76 | 27.4 | 28.82 | 171.41 | 27.4 | 31.86 | | | |
| | 13 | 68 | -131 | 1.00 | 58.95 | 27 | 28.53 | 68 | -131 | 1.00 | 52.80 | 27 | 28.37 | 170.40 | 27 | 31.43 | | | |
| | 14 | 56 | -113 | 1.00 | 50.18 | 25.5 | 26.80 | 56 | -113 | 1.00 | 48.12 | 25.5 | 26.75 | 167.03 | 25.5 | 29.84 | | | |
| | 15 | 42 | -103 | 1.00 | 40.62 | 26 | 27.06 | 42 | -103 | 1.00 | 42.56 | 26 | 27.11 | 159.71 | 26 | 30.15 | | | |
| | 16 | 30 | -98 | 1.00 | 32.63 | 26.4 | 27.25 | 30 | -98 | 1.00 | 37.76 | 26.4 | 27.38 | 147.59 | 26.4 | 30.24 | | | |
| | 17 | 22 | -93 | 1.00 | 27.21 | 26.5 | 27.21 | 22 | -93 | 1.00 | 34.58 | 26.5 | 27.40 | 132.95 | 26.5 | 29.96 | | | |
| | | | | | | SUM= | 308.35 | | | | | | | SUM= | 307.15 | | | SUM= | 338.95 |

ตารางที่ 7.21 แสดงการหา Sol-air Temperature บนผนังอาคาร เนื่องจากการบังเงาของ ต้นจามจุรี , ต้นพิกุล และ ไม่มีการบังเงา ในช่วงเวลาที่เกิดการแผ่รังสีของดวงอาทิตย์ ทางทิศตะวันออกเฉียงใต้

ในสภาพท้องฟ้า Clearsky ของวันที่ 16 มีนาคม 1994 โดยอาศัยข้อมูลอุณหภูมิอากาศ (Dbt) ของกรมอุตุนิยมวิทยา 1994

| จามจุรี | | | | | | | | พิกุล | | | | | | OUTDOOR | | | |
|-------------|-----|----------|----------------|-------|------------------------|---------|---------------|-------|-----|------|------------------------|---------|---------------|-------------------------------|---------|----------------|--------|
| Date | hr. | x1 | x2 | x3 | I inshade (W/sq.m.) | dbt(°C) | Sol-air temp. | x1 | x2 | x3 | I inshade (W/sq.m.) | dbt(°C) | Sol-air temp. | I total vertical (W/sq.m.) | dbt(°C) | Sol-air temp. | |
| | | Altitude | Surf. Sol.Azi. | ratio | | | °C | | | | | | Altitude | | | Surf. Sol.Azi. | ratio |
| 16 MAR.1994 | 7 | 13 | -42 | 1.00 | 72.33 | 24.3 | 26.18 | 13 | -42 | 1.00 | 55.07 | 24.3 | 25.73 | 575.09 | 24.3 | 39.25 | |
| | 8 | 28 | -37 | 1.00 | 81.94 | 25 | 27.13 | 28 | -37 | 1.00 | 59.55 | 25 | 26.55 | 769.50 | 25 | 45.01 | |
| | 9 | 42 | -32 | 1.00 | 90.82 | 27.1 | 29.46 | 42 | -32 | 1.00 | 63.75 | 27.1 | 28.76 | 776.07 | 27.1 | 47.28 | |
| | 10 | 56 | -22 | 1.00 | 98.42 | 29 | 31.56 | 56 | -22 | 1.00 | 68.27 | 29 | 30.77 | 686.56 | 29 | 46.85 | |
| | 11 | 68 | -4 | 1.00 | 102.53 | 30.6 | 33.27 | 68 | -4 | 1.00 | 72.74 | 30.6 | 32.49 | 545.75 | 30.6 | 44.79 | |
| | 12 | 74 | 45 | 1.00 | 94.36 | 27.4 | 29.85 | 74 | 45 | 1.00 | 77.49 | 27.4 | 29.41 | 367.94 | 27.4 | 36.97 | |
| | 13 | 68 | 94 | 1.00 | 77.48 | 27 | 29.01 | 68 | 94 | 1.00 | 78.92 | 27 | 29.05 | 170.40 | 27 | 31.43 | |
| | 14 | 56 | 112 | 1.00 | 64.18 | 25.5 | 27.17 | 56 | 112 | 1.00 | 76.72 | 25.5 | 27.49 | 167.03 | 25.5 | 29.84 | |
| | 15 | 42 | 122 | 1.00 | 51.46 | 26 | 27.34 | 42 | 122 | 1.00 | 73.47 | 26 | 27.91 | 159.71 | 26 | 30.15 | |
| | 16 | 30 | 127 | 1.00 | 41.48 | 26.4 | 27.48 | 30 | 127 | 1.00 | 70.45 | 26.4 | 28.23 | 147.59 | 26.4 | 30.24 | |
| | 17 | 22 | 132 | 1.00 | 34.39 | 26.5 | 27.39 | 22 | 132 | 1.00 | 68.55 | 26.5 | 28.28 | 108.12 | 26.5 | 29.31 | |
| | | | | | | SUM= | 315.84 | | | | | SUM= | 314.69 | | | SUM= | 411.12 |

ตารางที่ 7.22 แสดงการหา Sol-air Temperature บนผนังอาคาร เนื่องจากการบังเงาของ ต้นจามจุรี , ต้นพิกุล และ ไม่มีการบังเงา ในช่วงเวลาที่เกิดการแผ่รังสีของดวงอาทิตย์ ทางทิศตะวันตกเฉียงใต้

ในสภาพท้องฟ้า Clearsky ของวันที่ 16 มีนาคม 1994 โดยอาศัยข้อมูลอุณหภูมิอากาศ (Dbt) ของกรมอุตุนิยมวิทยา 1994

| จามจุรี | | | | | | | | พิกุล | | | | | | OUTDOOR | | | |
|-------------|-----|----------|----------------|-------|------------------------|---------|---------------|-------|------|------|------------------------|---------|---------------|-------------------------------|---------|----------------|--------|
| Date | hr. | x1 | x2 | x3 | I inshade (W/sq.m.) | dbt(°C) | Sol-air temp. | x1 | x2 | x3 | I inshade (W/sq.m.) | dbt(°C) | Sol-air temp. | I total vertical (W/sq.m.) | dbt(°C) | Sol-air temp. | |
| | | Altitude | Surf. Sol.Azi. | ratio | | | °C | | | | | | Altitude | | | Surf. Sol.Azi. | ratio |
| 16 MAR.1994 | 7 | 13 | -132 | 1.00 | 65.29 | 24.3 | 26.00 | 13 | -132 | 1.00 | 39.36 | 24.3 | 25.32 | 105.69 | 24.3 | 27.05 | |
| | 8 | 28 | -127 | 1.00 | 82.82 | 25 | 27.15 | 28 | -127 | 1.00 | 40.65 | 25 | 26.06 | 146.14 | 25 | 28.80 | |
| | 9 | 42 | -122 | 1.00 | 99.12 | 27.1 | 29.68 | 42 | -122 | 1.00 | 41.86 | 27.1 | 28.19 | 159.71 | 27.1 | 31.25 | |
| | 10 | 56 | -112 | 1.00 | 114.69 | 29 | 31.98 | 56 | -112 | 1.00 | 43.03 | 29 | 30.12 | 167.03 | 29 | 33.34 | |
| | 11 | 68 | -94 | 1.00 | 126.64 | 30.6 | 33.89 | 68 | -94 | 1.00 | 43.98 | 30.6 | 31.74 | 170.40 | 30.6 | 35.03 | |
| | 12 | 74 | -45 | 1.00 | 126.68 | 27.4 | 30.69 | 74 | -45 | 1.00 | 44.20 | 27.4 | 28.55 | 367.94 | 27.4 | 36.97 | |
| | 13 | 68 | 4 | 1.00 | 112.10 | 27 | 29.91 | 68 | 4 | 1.00 | 43.36 | 27 | 28.13 | 545.75 | 27 | 41.19 | |
| | 14 | 56 | 22 | 1.00 | 94.82 | 25.5 | 27.97 | 56 | 22 | 1.00 | 42.19 | 25.5 | 26.60 | 686.56 | 25.5 | 43.35 | |
| | 15 | 42 | 32 | 1.00 | 76.29 | 26 | 27.98 | 42 | 32 | 1.00 | 40.89 | 26 | 27.06 | 776.07 | 26 | 46.18 | |
| | 16 | 30 | 37 | 1.00 | 60.93 | 26.4 | 27.98 | 30 | 37 | 1.00 | 39.79 | 26.4 | 27.43 | 759.66 | 26.4 | 46.15 | |
| | 17 | 22 | 42 | 1.00 | 50.45 | 26.5 | 27.81 | 22 | 42 | 1.00 | 39.06 | 26.5 | 27.52 | 579.86 | 26.5 | 41.58 | |
| | | | | | | SUM= | 321.06 | | | | | SUM= | 306.72 | | | SUM= | 410.88 |

ตารางที่ 7.23 แสดงการหา Sol-air Temperature บนผนังอาคาร เนื่องจากการบังเงาของ ต้นจามจุรี , ต้นพิกุล และ ไม่มีการบังเงา ในช่วงเวลาที่เกิดการแผ่รังสีของดวงอาทิตย์ ทางทิศตะวันตกเฉียงเหนือ

ในสภาพท้องฟ้า Clearsky ของวันที่ 16 มีนาคม 1994 โดยอาศัยข้อมูลอุณหภูมิอากาศ (Dbt) ของกรมอุตุนิยมวิทยา 1994

จามจุรี

พิกุล

OUTDOOR

| Date | hr. | x1 | x2 | x3 | I inshade (W/sq.m.) | dbt(°C) | Sol-air temp. |
|-------------|-----|----------|----------------|-------|------------------------|---------|---------------|
| | | Altitude | Surf. Sol.Azi. | ratio | | | °C |
| 16 MAR.1994 | 7 | 13 | -222 | 1.00 | 44.62 | 24.3 | 25.46 |
| | 8 | 28 | -217 | 1.00 | 53.82 | 25 | 26.40 |
| | 9 | 42 | -212 | 1.00 | 62.41 | 27.1 | 28.72 |
| | 10 | 56 | -202 | 1.00 | 71.01 | 29 | 30.85 |
| | 11 | 68 | -184 | 1.00 | 78.41 | 30.6 | 32.64 |
| | 12 | 74 | -135 | 1.00 | 82.24 | 27.4 | 29.54 |
| | 13 | 68 | -86 | 1.00 | 78.72 | 27 | 29.05 |
| | 14 | 56 | -68 | 1.00 | 71.43 | 25.5 | 27.36 |
| | 15 | 42 | -58 | 1.00 | 62.89 | 26 | 27.64 |
| | 16 | 30 | -53 | 1.00 | 55.56 | 26.4 | 27.84 |
| | 17 | 22 | -48 | 1.00 | 50.68 | 26.5 | 27.82 |
| | | | | | SUM= | | 313.31 |

| Altitude | Surf. Sol.Azi. | ratio | I inshade (W/sq.m.) | dbt(°C) | Sol-air temp. |
|----------|----------------|-------|------------------------|---------|---------------|
| | | | | | °C |
| 13 | -222 | 1.00 | 39.99 | 24.3 | 25.34 |
| 28 | -217 | 1.00 | 48.43 | 25 | 26.26 |
| 42 | -212 | 1.00 | 56.31 | 27.1 | 28.56 |
| 56 | -202 | 1.00 | 64.26 | 29 | 30.67 |
| 68 | -184 | 1.00 | 71.19 | 30.6 | 32.45 |
| 74 | -135 | 1.00 | 75.16 | 27.4 | 29.35 |
| 68 | -86 | 1.00 | 72.42 | 27 | 28.88 |
| 56 | -68 | 1.00 | 65.95 | 25.5 | 27.21 |
| 42 | -58 | 1.00 | 58.26 | 26 | 27.51 |
| 30 | -53 | 1.00 | 51.62 | 26.4 | 27.74 |
| 22 | -48 | 1.00 | 47.21 | 26.5 | 27.73 |
| | | | SUM= | | 311.72 |

| I total vertical (W/sq. m.) | dbt(°C) | Sol-air temp. |
|--------------------------------|---------|---------------|
| | | °C |
| 105.79 | 24.3 | 27.05 |
| 146.14 | 25 | 28.80 |
| 159.71 | 27.1 | 31.25 |
| 167.03 | 29 | 33.34 |
| 170.40 | 30.6 | 35.03 |
| 171.41 | 27.4 | 31.86 |
| 180.59 | 27 | 31.70 |
| 345.91 | 25.5 | 34.49 |
| 487.42 | 26 | 38.67 |
| 584.18 | 26.4 | 41.59 |
| 503.95 | 26.5 | 39.60 |
| | SUM= | 373.39 |

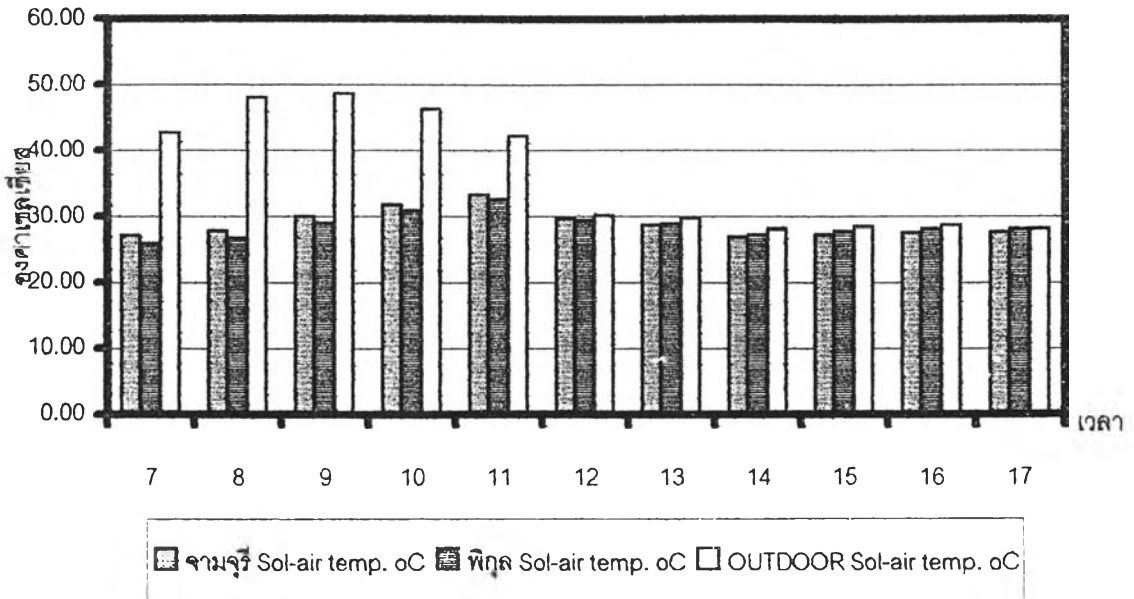
ตารางที่ 7.24 แสดงการหา Sol-air Temperature บนผนังอาคาร เนื่องจากการบังเงาของ ต้นจามจุรี , ต้นพิกุล และ ไม่มีการบังเงา ในช่วงเวลาที่เกิดการแผ่รังสีของดวงอาทิตย์ ทางทิศตะวันออกเฉียงเหนือ

ในสภาพท้องฟ้า Clearsky ของวันที่ 16 มีนาคม 1994 โดยอาศัยข้อมูลอุณหภูมิอากาศ (Dbt) ของกรมอุตุนิยมวิทยา1994

| จามจุรี | | | | | | | | พิกุล | | | | | | OUTDOOR | | | | |
|-------------|-----|----------|----------------|-------|------------------------|---------|---------------|--------|-----|------|------------------------|---------|---------------|-------------------------------|---------|----------------|-------|----|
| Date | hr. | x1 | x2 | x3 | I inshade (W/sq.m.) | dbt(°C) | Sol-air temp. | x1 | x2 | x3 | I inshade (W/sq.m.) | dbt(°C) | Sol-air temp. | I total vertical (W/sq.m.) | dbt(°C) | Sol-air temp. | | |
| | | Altitude | Surf. Sol.Azi. | ratio | | | °C | | | | | | Altitude | | | Surf. Sol.Azi. | ratio | °C |
| 16 MAR.1994 | 7 | 13 | 48 | 1.00 | 72.39 | 24.3 | 26.18 | 13 | 48 | 1.00 | 47.39 | 24.3 | 25.53 | 485.81 | 24.3 | 36.93 | | |
| | 8 | 28 | 53 | 1.00 | 76.17 | 25 | 26.98 | 28 | 53 | 1.00 | 53.13 | 25 | 26.38 | 566.57 | 25 | 39.73 | | |
| | 9 | 42 | 58 | 1.00 | 79.65 | 27.1 | 29.17 | 42 | 58 | 1.00 | 58.49 | 27.1 | 28.62 | 487.42 | 27.1 | 39.77 | | |
| | 10 | 56 | 68 | 1.00 | 82.22 | 29 | 31.14 | 56 | 68 | 1.00 | 63.76 | 29 | 30.66 | 345.91 | 29 | 37.99 | | |
| | 11 | 68 | 86 | 1.00 | 82.73 | 30.6 | 32.75 | 68 | 86 | 1.00 | 68.14 | 30.6 | 32.37 | 180.21 | 30.6 | 35.29 | | |
| | 12 | 74 | 135 | 1.00 | 75.80 | 27.4 | 29.37 | 74 | 135 | 1.00 | 69.69 | 27.4 | 29.21 | 171.41 | 27.4 | 31.86 | | |
| | 13 | 68 | 184 | 1.00 | 65.11 | 27 | 28.69 | 68 | 184 | 1.00 | 66.59 | 27 | 28.73 | 170.40 | 27 | 31.43 | | |
| | 14 | 56 | 202 | 1.00 | 58.12 | 25.5 | 27.01 | 56 | 202 | 1.00 | 61.65 | 25.5 | 27.10 | 167.03 | 25.5 | 29.84 | | |
| | 15 | 42 | 212 | 1.00 | 51.95 | 26 | 27.35 | 42 | 212 | 1.00 | 56.06 | 26 | 27.46 | 159.71 | 26 | 30.15 | | |
| | 16 | 30 | 217 | 1.00 | 47.31 | 26.4 | 27.63 | 30 | 217 | 1.00 | 51.32 | 26.4 | 27.73 | 147.59 | 26.4 | 30.24 | | |
| | 17 | 22 | 222 | 1.00 | 43.91 | 26.5 | 27.64 | 22 | 222 | 1.00 | 48.14 | 26.5 | 27.75 | 108.12 | 26.5 | 29.31 | | |
| | | | | | | | SUM= | 313.92 | | | | | | | SUM= | 311.55 | | |
| | | | | | | | | | | | | | | | SUM= | 372.54 | | |

กราฟที่ 7.17 แสดงการเปรียบเทียบ Sol-air Temperature

ณ ผิวผนังภายนอกทางทิศตะวันออก

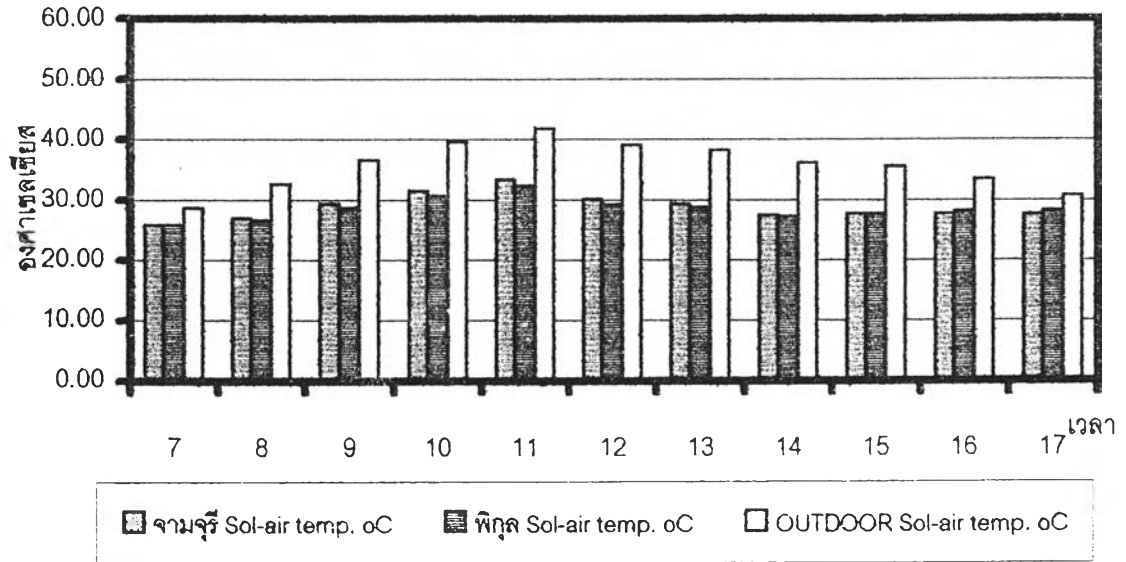


| EAST | | จามจรี | พิกุล | OUTDOOR |
|-------------------|------|------------------|------------------|------------------|
| Date | hr. | Sol-air temp. °C | Sol-air temp. °C | Sol-air temp. °C |
| 16 MAR 1994 | 7 | 27.13 | 25.97 | 42.66 |
| | 8 | 27.84 | 26.75 | 47.99 |
| | 9 | 29.93 | 28.92 | 48.61 |
| | 10 | 31.78 | 30.89 | 46.18 |
| | 11 | 33.24 | 32.54 | 42.11 |
| | 12 | 29.58 | 29.34 | 30.02 |
| | 13 | 28.68 | 28.88 | 29.61 |
| | 14 | 26.96 | 27.30 | 28.05 |
| | 15 | 27.32 | 27.72 | 28.44 |
| | 16 | 27.60 | 28.05 | 28.66 |
| | 17 | 27.63 | 26.11 | 28.15 |
| | SUM= | 317.67 | 314.46 | 400.50 |
| ลด Sol-air temp.= | | 82.82 | 86.03 | |

จามจรี-ลดปริมาณความร้อนได้= 20.60%

พิกุล-ลดปริมาณความร้อนได้= 21.40%

กราฟที่ 7.18 แสดงการเปรียบเทียบ Sol-air Temperature ณ ผิวผนังภายนอกทางทิศใต้



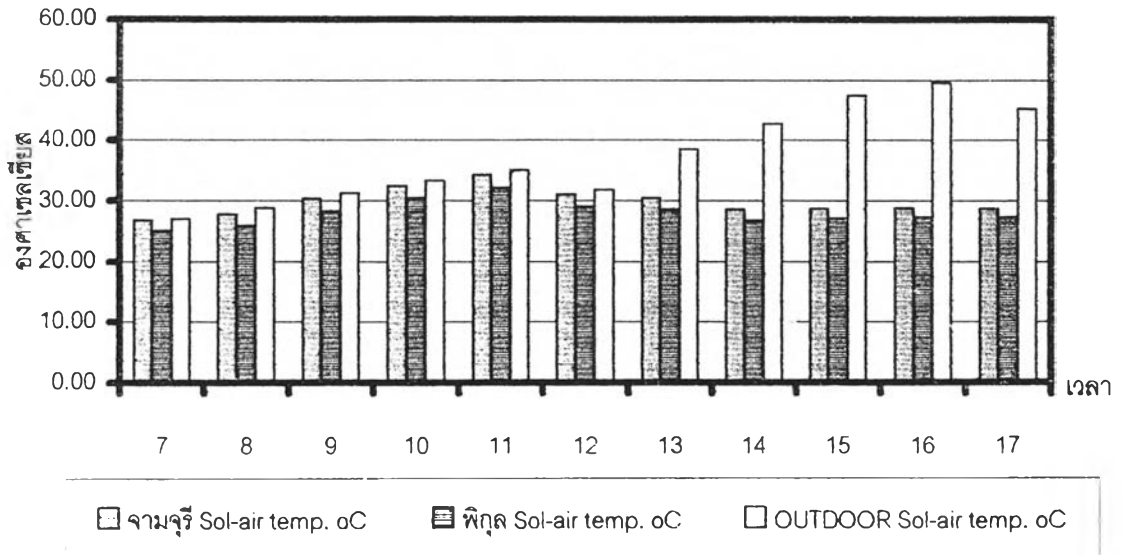
SOUTH **จามจรี** **พิบูล** **OUTDOOR**

| Date | hr. | Sol-air temp. | Sol-air temp. | Sol-air temp. |
|-------------------|------|---------------|---------------|---------------|
| | | °C | °C | °C |
| 16 MAR.1994 | 7 | 25.82 | 25.79 | 28.69 |
| | 8 | 26.86 | 26.54 | 32.53 |
| | 9 | 29.27 | 28.69 | 36.56 |
| | 10 | 31.47 | 30.64 | 39.61 |
| | 11 | 33.28 | 32.29 | 41.75 |
| | 12 | 30.05 | 29.14 | 39.08 |
| | 13 | 29.33 | 28.77 | 38.15 |
| | 14 | 27.48 | 27.25 | 36.11 |
| | 15 | 27.62 | 27.71 | 35.46 |
| | 16 | 27.71 | 26.08 | 33.46 |
| | 17 | 27.61 | 28.16 | 30.71 |
| | SUM= | 316.50 | 313.05 | 392.10 |
| ลด Sol-air temp.= | | 75.60 | 79.06 | |

จามจรี-ลดปริมาณความร้อนได้= 19.20%

พิบูล-ลดปริมาณความร้อนได้= 20.10%

กราฟที่ 7.19 แสดงการเปรียบเทียบ Sol-air Temperature
ณ ผิวผนังภายนอกทางทิศตะวันตก

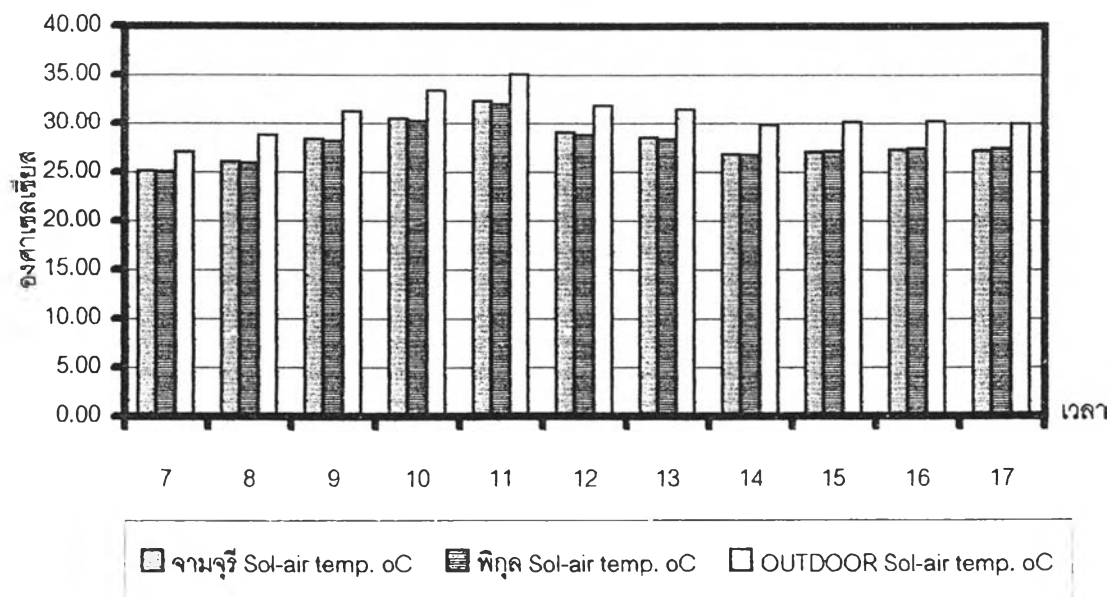


| WEST | | จามจรี | พิกุล | OUTDOOR |
|-------------------|------|------------------|------------------|------------------|
| Date | hr. | Sol-air temp. °C | Sol-air temp. °C | Sol-air temp. °C |
| 16 MAR 1994 | 7 | 26.84 | 25.12 | 27.05 |
| | 8 | 27.87 | 26.03 | 28.80 |
| | 9 | 30.29 | 28.32 | 31.25 |
| | 10 | 32.49 | 30.42 | 33.34 |
| | 11 | 34.31 | 32.19 | 35.03 |
| | 12 | 31.10 | 29.07 | 31.86 |
| | 13 | 30.39 | 28.59 | 38.51 |
| | 14 | 28.55 | 26.92 | 42.68 |
| | 15 | 28.68 | 27.23 | 47.51 |
| | 16 | 28.78 | 27.46 | 49.52 |
| | 17 | 28.68 | 27.45 | 45.26 |
| | SUM= | 327.99 | 308.80 | 410.81 |
| ลด Sol-air temp.= | | 82.82 | 102.01 | |

จามจรี-ลดปริมาณความร้อนได้= 20.10%
พิกุล-ลดปริมาณความร้อนได้= 24.80%

กราฟที่ 7.20 แสดงการเปรียบเทียบ Sol-air Temperature

ณ ผิวผนังภายนอกทางทิศเหนือ



NORTH จามจรี พิกุล OUTDOOR

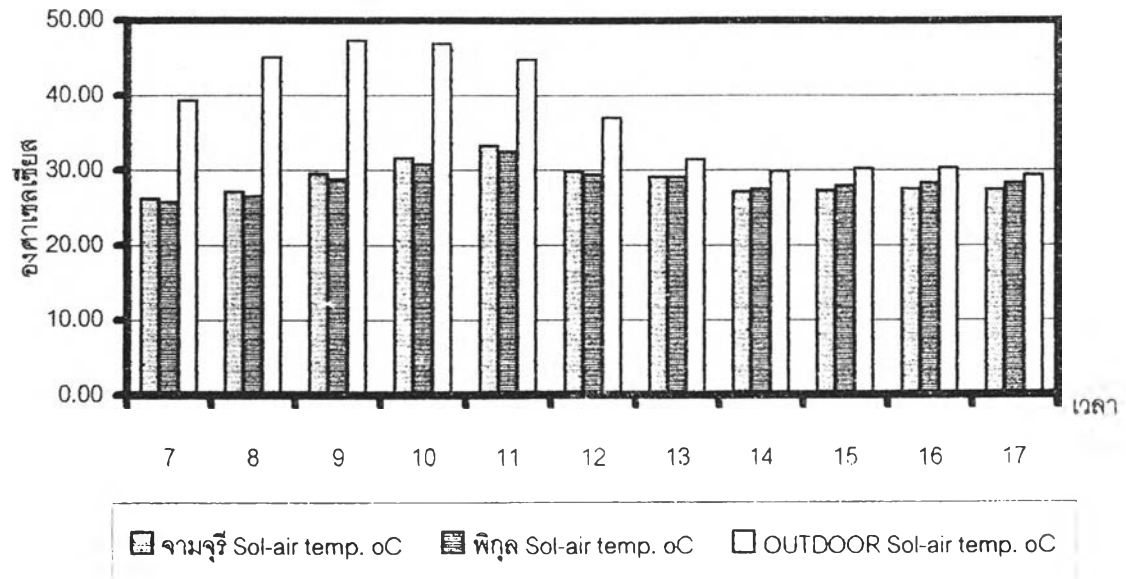
| Date | hr. | Sol-air temp. | Sol-air temp. | Sol-air temp. |
|-------------|-------------------|---------------|---------------|---------------|
| | | °C | °C | °C |
| 16 MAR 1994 | 7 | 25.13 | 25.06 | 27.05 |
| | 8 | 26.07 | 25.92 | 28.80 |
| | 9 | 28.40 | 28.17 | 31.25 |
| | 10 | 30.51 | 30.22 | 33.34 |
| | 11 | 32.29 | 31.95 | 35.03 |
| | 12 | 29.11 | 28.82 | 31.86 |
| | 13 | 28.53 | 28.37 | 31.43 |
| | 14 | 26.80 | 26.75 | 29.84 |
| | 15 | 27.06 | 27.11 | 30.15 |
| | 16 | 27.25 | 27.38 | 30.24 |
| | 17 | 27.21 | 27.40 | 29.96 |
| | SUM= | 308.35 | 307.15 | 338.95 |
| | ลด Sol-air temp.= | 30.60 | 31.80 | |

จามจรี-ลดปริมาณความร้อนได้= 0.09%

พิกุล-ลดปริมาณความร้อนได้= 0.09%

กราฟที่ 7.21 แสดงการเปรียบเทียบ Sol-air Temperature

ณ ผิวผนังภายนอกทางทิศตะวันออกเฉียงใต้



SOUTH-EAST จามจรี พิกุล OUTDOOR

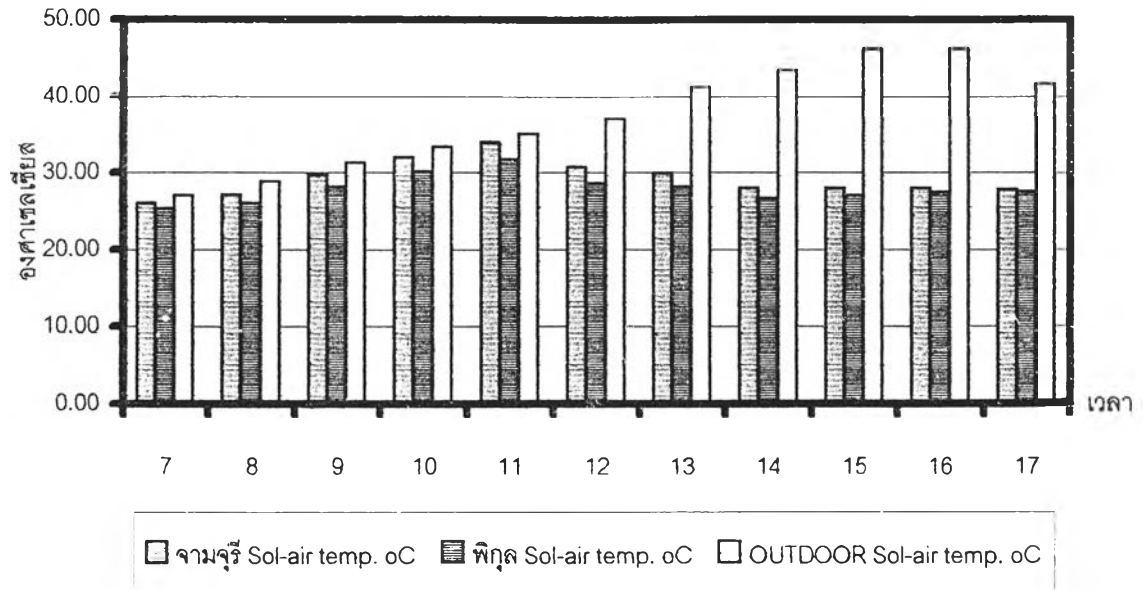
| Date | hr. | Sol-air temp. | Sol-air temp. | Sol-air temp. |
|-------------------|------|---------------|---------------|---------------|
| | | °C | °C | °C |
| 16 MAR 1994 | 7 | 26.18 | 25.73 | 39.25 |
| | 8 | 27.13 | 26.55 | 45.01 |
| | 9 | 29.46 | 28.76 | 47.28 |
| | 10 | 31.56 | 30.77 | 46.85 |
| | 11 | 33.27 | 32.49 | 44.79 |
| | 12 | 29.85 | 29.41 | 36.97 |
| | 13 | 29.01 | 29.05 | 31.43 |
| | 14 | 27.17 | 27.49 | 29.84 |
| | 15 | 27.34 | 27.91 | 30.15 |
| | 16 | 27.48 | 28.23 | 30.24 |
| | 17 | 27.39 | 28.28 | 29.31 |
| | SUM= | 315.84 | 314.69 | 411.12 |
| ลด Sol-air temp.= | | 95.27 | 96.43 | |

จามจรี-ลดปริมาณความร้อนได้= 23.10%

พิกุล-ลดปริมาณความร้อนได้= 23.40%

กราฟที่ 7.22 แสดงการเปรียบเทียบ Sol-air Temperature

ณ ผิวผนังภายนอกทางทิศตะวันตกเฉียงใต้



SOUTH-WEST จามจรี พิกุล OUTDOOR

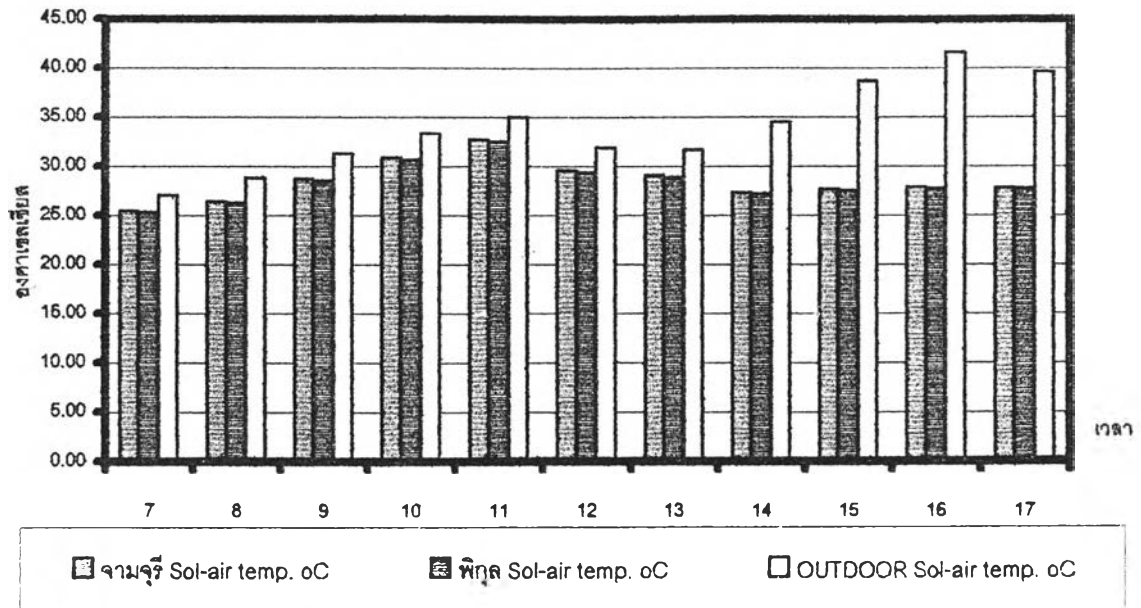
| Date | hr. | Sol-air temp. | Sol-air temp. | Sol-air temp. |
|-------------------|------|---------------|---------------|---------------|
| | | °C | °C | °C |
| 16 MAR. 1994 | 7 | 26.00 | 25.32 | 27.05 |
| | 8 | 27.15 | 26.06 | 28.80 |
| | 9 | 29.68 | 28.19 | 31.25 |
| | 10 | 31.98 | 30.12 | 33.34 |
| | 11 | 33.89 | 31.74 | 35.03 |
| | 12 | 30.69 | 28.55 | 36.97 |
| | 13 | 29.91 | 28.13 | 41.19 |
| | 14 | 27.97 | 26.60 | 43.35 |
| | 15 | 27.98 | 27.06 | 46.18 |
| | 16 | 27.98 | 27.43 | 46.15 |
| | 17 | 27.81 | 27.52 | 41.58 |
| | SUM= | 321.06 | 306.72 | 410.88 |
| ลด Sol-air temp.= | | 89.83 | 104.17 | |

จามจรี-ลดปริมาณความร้อนได้= 21.80%

พิกุล-ลดปริมาณความร้อนได้= 25.30%

กราฟที่ 7.23 แสดงการเปรียบเทียบ Sol-air Temperature

ณ ผิวผนังภายนอกทางทิศตะวันตกเฉียงเหนือ



NORTH-WEST **จามจรี** **พิกุล** **OUTDOOR**

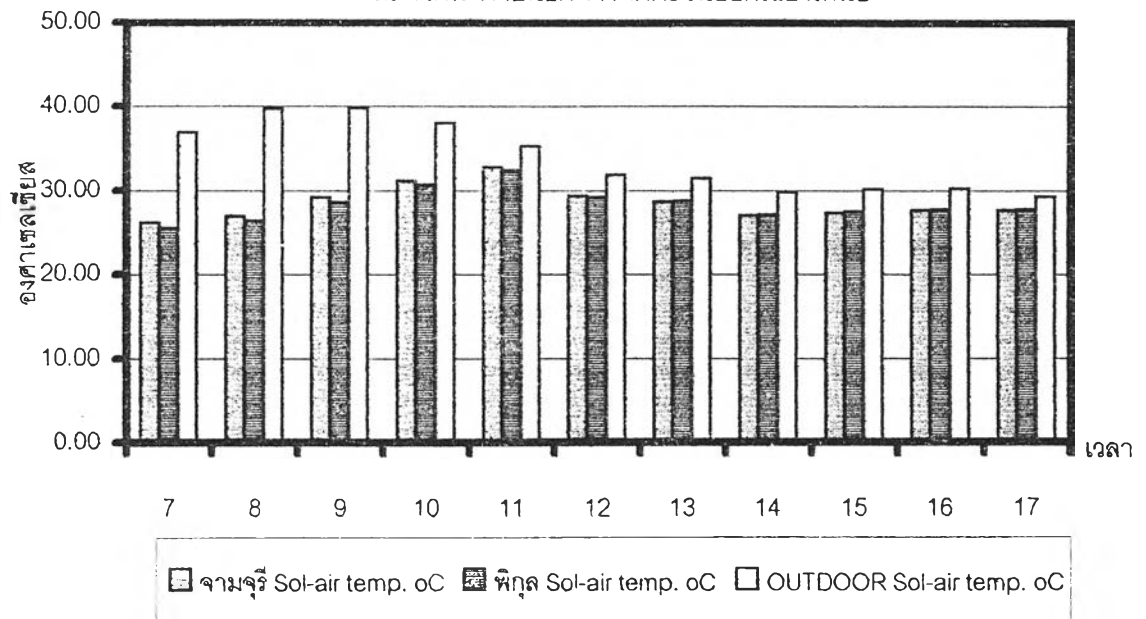
| Date | hr. | Sol-air temp. | Sol-air temp. | Sol-air temp. |
|--------------|-------------------|---------------|---------------|---------------|
| | | °C | °C | °C |
| 16 MAR. 1994 | 7 | 25.46 | 25.34 | 27.05 |
| | 8 | 26.40 | 26.26 | 28.80 |
| | 9 | 28.72 | 28.56 | 31.25 |
| | 10 | 30.85 | 30.67 | 33.34 |
| | 11 | 32.64 | 32.45 | 35.03 |
| | 12 | 29.54 | 29.35 | 31.86 |
| | 13 | 29.05 | 28.88 | 31.70 |
| | 14 | 27.36 | 27.21 | 34.49 |
| | 15 | 27.64 | 27.51 | 38.67 |
| | 16 | 27.84 | 27.74 | 41.59 |
| | 17 | 27.82 | 27.73 | 39.60 |
| | SUM= | 313.31 | 311.72 | 373.39 |
| | ลด Sol-air temp.= | 60.08 | 61.66 | |

จามจรี-ลดปริมาณความร้อนได้= 16.00%

พิกุล-ลดปริมาณความร้อนได้= 16.50%

กราฟที่ 7.24 แสดงการเปรียบเทียบ Sol-air Temperature

ณ ผิวผนังภายนอกทางทิศตะวันออกเชียงใหม่



NORTH-EAST จามจური พิกุล OUTDOOR

| Date | hr. | Sol-air temp. | Sol-air temp. | Sol-air temp. |
|-------------------|------|---------------|---------------|---------------|
| | | °C | °C | °C |
| 16 MAR. 1994 | 7 | 26.18 | 25.53 | 36.93 |
| | 8 | 26.98 | 26.38 | 39.73 |
| | 9 | 29.17 | 28.62 | 39.77 |
| | 10 | 31.14 | 30.66 | 37.99 |
| | 11 | 32.75 | 32.37 | 35.29 |
| | 12 | 29.37 | 29.21 | 31.86 |
| | 13 | 28.69 | 28.73 | 31.43 |
| | 14 | 27.01 | 27.10 | 29.84 |
| | 15 | 27.35 | 27.46 | 30.15 |
| | 16 | 27.63 | 27.73 | 30.24 |
| | 17 | 27.64 | 27.75 | 29.31 |
| | SUM= | 313.92 | 311.55 | 372.54 |
| ลด Sol-air temp.= | | 58.63 | 60.99 | |

จามจური-ลดปริมาณความร้อนได้= 15.70%

พิกุล-ลดปริมาณความร้อนได้= 16.30%

จากกราฟเปรียบเทียบอุณหภูมิโซล-แอร์ ณ ผิวผนังภายนอกในทิศทางต่าง ๆ แสดงให้ทราบถึงปริมาณความร้อนที่ลดลงได้

$$\text{จาก } Q_1 = UA (T_{o_1} - T_i) \dots\dots\dots\text{Outdoor}$$

$$Q_2 = UA (T_{o_2} - T_i) \dots\dots\dots\text{Inshade}$$

$$\text{ปริมาณความร้อนที่เข้าสู่อาคารลดลงได้} = Q_1 - Q_2$$

$$Q_1 - Q_2 = UA [(T_{o_1} - T_i) - (T_{o_2} - T_i)]$$

$$= UA (T_{o_1} - T_i) \text{ (ในที่นี้ } T_o = \text{Sol-air temperature)}$$

ดังนั้น ปริมาณความร้อนที่เข้าสู่อาคารลดลง สามารถพิจารณาได้จากปริมาณอุณหภูมิโซล-แอร์ ที่ลดลงนั่นเอง

จากการพิจารณาการลดลงของอุณหภูมิโซล-แอร์ จะเห็นได้ว่า

- ต้นพิกุลสามารถลดอุณหภูมิโซล-แอร์ ได้ดีกว่าในทุก ๆ ทิศ
- ต้นไม้ทั้ง 2 ชนิด สามารถลดอุณหภูมิโซล-แอร์ ได้ดีที่สุดในทิศตะวันออกเฉียงใต้

และทิศตะวันตกเฉียงใต้ เนื่องจากช่วงเวลาการรับรังสีตรงจากดวงอาทิตย์มีมาก ก็ย่อมสามารถสกัดกั้นรังสีได้ดีกว่า ดังที่ทราบจากการวิเคราะห์พิจารณาข้อมูลที่เกิดขึ้นในบทที่ 6

- สำหรับทิศเหนือจะเห็นได้ว่าการลดอุณหภูมิโซล-แอร์ ได้น้อย เนื่องจากทิศเหนือเป็นทิศที่ไม่ได้รับรังสีตรงของดวงอาทิตย์เลย ดังนั้นปริมาณอุณหภูมิโซล-แอร์ของส่วนที่ไม่ได้บังเงาด้วยต้นไม้จึงมีปริมาณน้อยและใกล้เคียงกับการบังเงาด้วยต้นไม้ยืนต้น ซึ่งภายใต้ร่มเงานั้นส่วนใหญ่ก็เป็นรังสีกระจายและรังสีสะท้อน เช่นเดียวกับผนังส่วนที่ไม่ได้ใช้ต้นไม้ยืนต้น

- ความสามารถในการสกัดกั้นรังสีของต้นไม้ยืนต้น จะขึ้นกับช่วงเวลาที่มีรังสีตรงมากระทบโดยมีรังสีตรงเกิดขึ้นมากก็จะสามารถสกัดกั้นได้ดี